

# 半导体中反演不对称相关的 两个效应

陈涌海

中科院半导体所  
半导体材料科学重点实验室



# 报告内容

## 一、前言

反演不对称、半导体能带

## 二、空穴混合

量子阱平面光学各向异性

## 三、自旋分裂

二维电子气的自旋光电流

## 四、结论

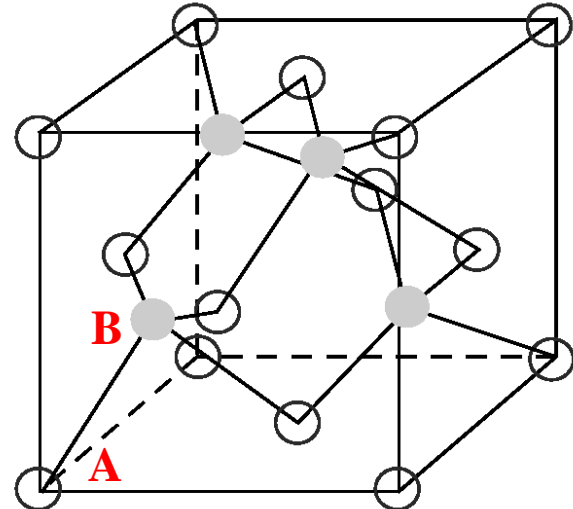
# 一、前言

晶体结构对称性对材料光电性质具有决定性的影响！

闪锌矿结构的反演不对称

1) 体反演不对称

$T_d$  , GaAs , InP

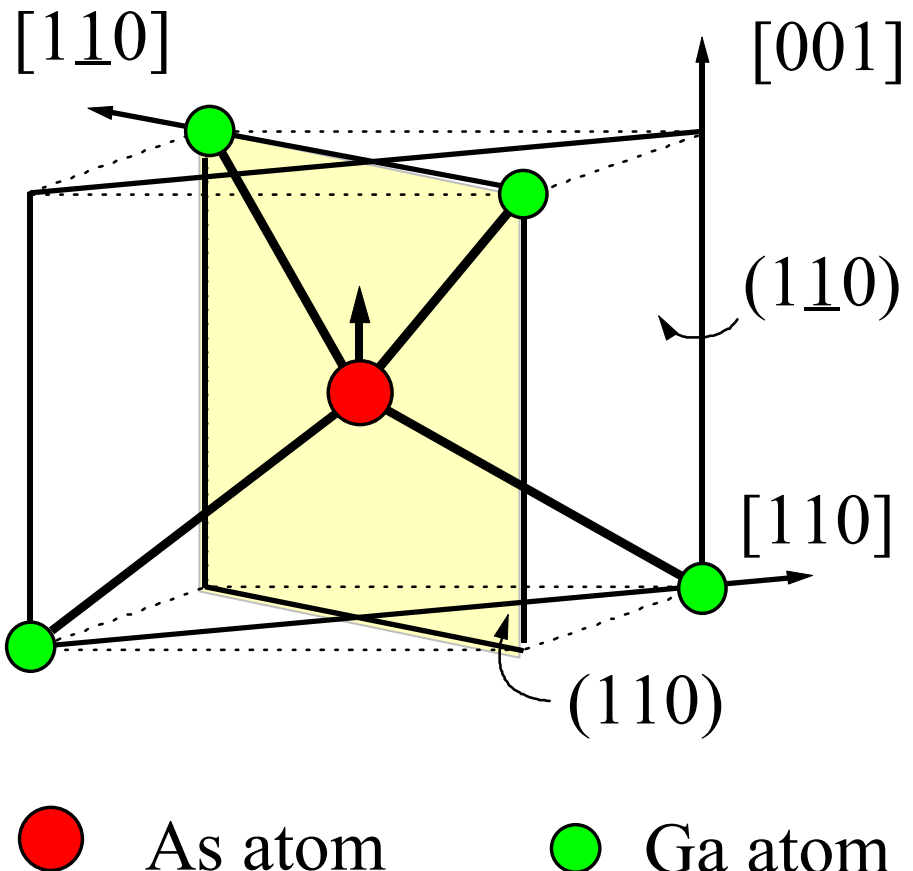


压电效应，非线性光学效应（包括线性电光效应，或Pockels效应）

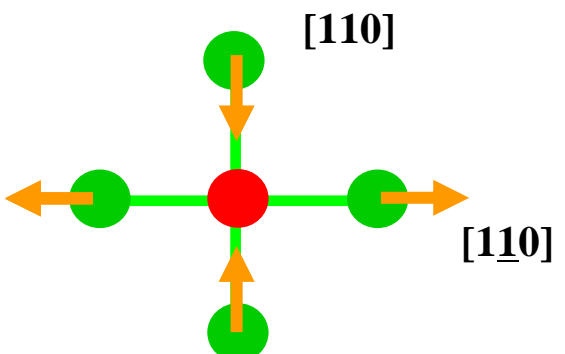
但是闪锌矿结构具有旋转反演对称性！

## 2) 场致反演不对称

应变 $e_{xy}$ , [001]电场 $E_z$

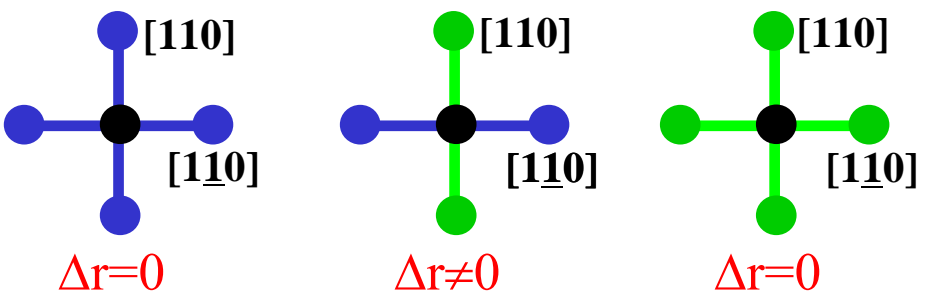
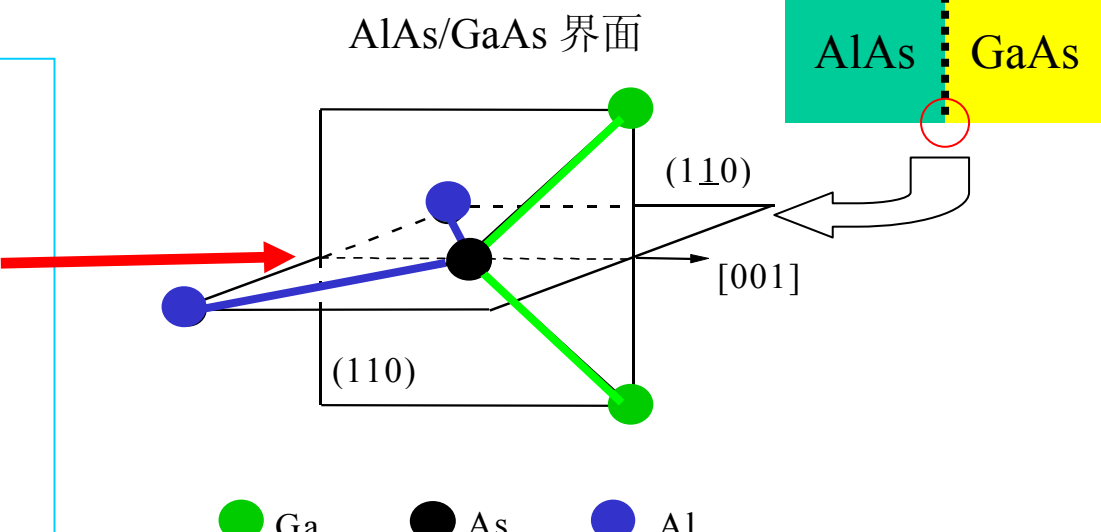
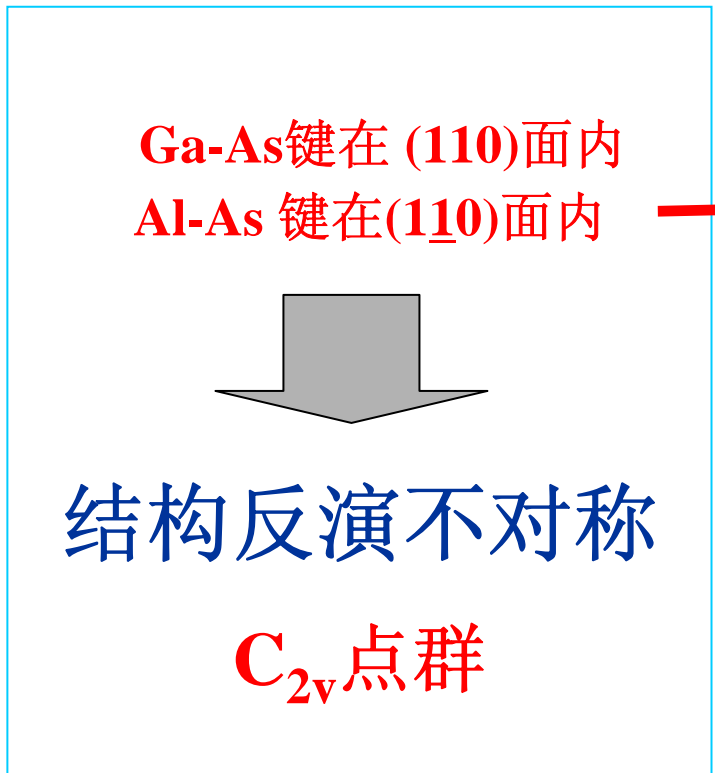


闪锌矿结构, GaAs:  
Ga和As原子的相对移  
动使得(110)和( $\bar{1}\bar{1}0$ )面  
内的Ga-As键不再对  
称,  $C_{2v}$ 点群。



### 3) 结构反演不对称

半导体界面内在的反演不对称性！

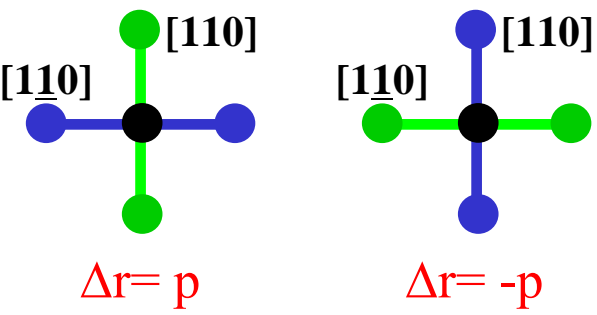
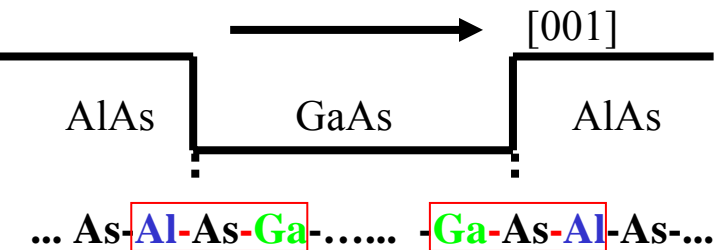


化学键在  $(001)$  面内的投影

# 理想对称的量子阱

量子阱中心为对称点，具有旋转反演对称性！

[110] 等价于 [1\underline{1}0]



# 实际量子阱总有一定度的结构 反演不对称： $C_{2v}$

界面不完美！  
 $\Rightarrow$  无旋转反演对称性

原子偏析

InGaAs/GaAs



界面有序结构

GaAs/AlGaAs  $\odot [110]$



界面化学键组成的差异

InGaAs/InP



组分渐变、台阶  
界面插入层等



# 闪锌矿半导体材料的反演不对称：

1) BIA: bulk inversion asymmetry ,  $T_d$

材料固有的，无法调控

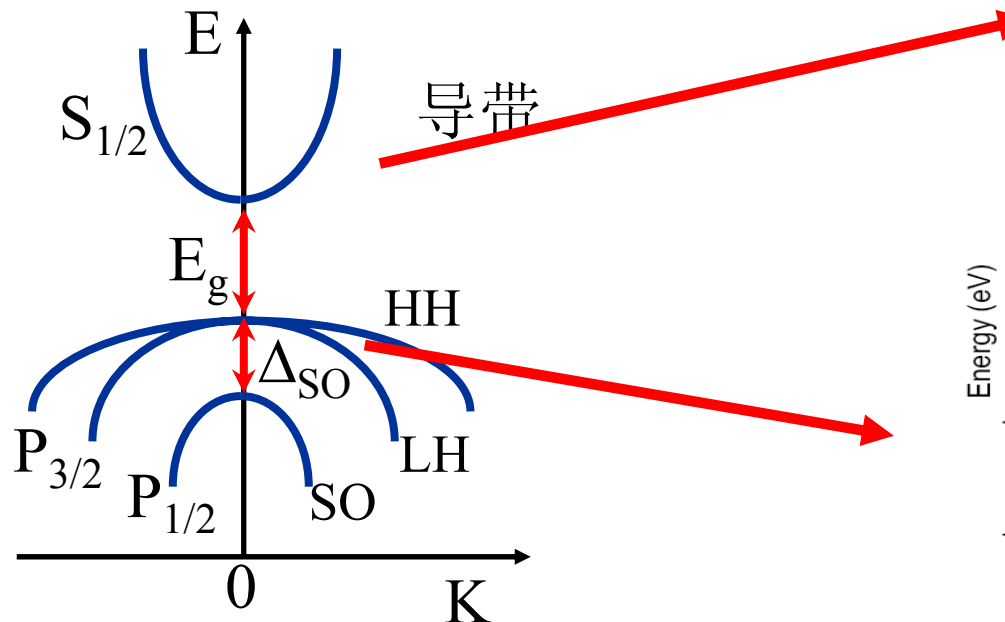
2) FIA: strain and electric field,  $C_{2v}$   
3) SIA: structural inversion asymmetry  $C_{2v}$

通过外场和结构设计，实现调控

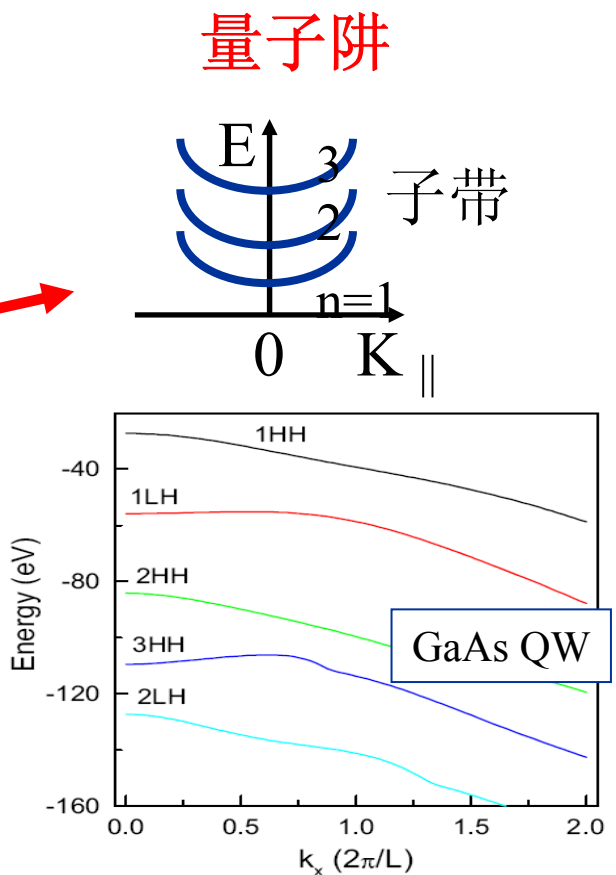
# 反演不对称会产生怎样的效应？

半导体材料的光电性质决定于它们的能带结构和波函数

闪锌矿体材料 如GaAs



- 1) 能带自旋简并
- 2) 价带顶轻重空穴简并



- 1) 子带自旋简并
- 2) 轻重空穴简并消除
- 3)  $K_{||} = 0$ , 空穴无混合

# $C_{2v}$ 反演不对称对能带结构和波函数的影响

目标：寻找 $E_z$ ,  $e_{xy}$ 等相关的哈密顿量

$T_d$ 点群的不可约表示

$\Gamma_1: S [1];$

$\Gamma_2: T [x l_x + y l_y + z l_z];$

$\Gamma_3: (U, V) [\sqrt{3}(x^2 - y^2), 2z^2 - x^2 - y^2];$

$\Gamma_4: (P, Q, R) [l_x, l_y, l_z]; \sigma, J, H(\text{磁场}), k \times E$  轴矢量

$\Gamma_5: (X, Y, Z) [x, y, z]. \quad \mathbf{k}, E(\text{电场}), [e_{yz}, e_{zx}, e_{xy}]$  极矢量  
 $\{j_y j_z\}, \{j_z j_x\}, \{j_x j_y\}$

$$\{j_x j_y\} = (j_x j_y + j_y j_x)/2$$

# $T_d$ 点群不可约表示的乘法表

TABLE I. Multiplication table for the components of the irreducible representations of  $T_d$  group. The components are defined in Eq. (4.1). This table is equivalent to that of coupling coefficients in G. F. Koster, J. O. Dimmock, R. G. Wheeler, and H. Statz, *Properties of Thirty-two Point Groups* (M.I.T., Cambridge, 1963).

$S$	$SS'$	$TT'$	$UU' + VV'$	$PP' + QQ' + RR'$	$XX' + YY' + ZZ'$
$T$	$ST'$		$UV' - VU'$		$PX' + QY' + RZ'$
$U$	$SU'$	$-TV'$	$UV' + VU'$	$\sqrt{3}(PP' - QQ')$	$2RZ' - PX' - QY'$
$V$	$SV'$	$TU'$	$UU' - VV'$	$2RR' - PP' - QQ'$	$\sqrt{3}(QY' - PX')$
$P$	$SP'$	$TX'$	$(\sqrt{3}U - V)P'$	$QR' - RQ'$	$QZ' + RY'$
$Q$	$SQ'$	$TY'$	$-(\sqrt{3}U + V)Q'$	$RP' - PR'$	$RX' + PZ'$
$R$	$SR'$	$TZ'$	$2VR'$	$PQ' - QP'$	$PY' + QX'$
$X$	$SX'$	$TP'$	$-(\sqrt{3}V + U)P'$	$QR' + RQ'$	$QZ' - RY'$
$Y$	$SY'$	$TQ'$	$(\sqrt{3}V - U)Q'$	$RP' + PR'$	$RX' - PZ'$
$Z$	$SZ'$	$TR'$	$2UR'$	$PQ' + QP'$	$PY' - QX'$
			$2VZ'$		$XY' - YX'$

$\kappa =$

$$\begin{aligned} & (k_y^2 - k_z^2)k_x \\ & (k_z^2 - k_x^2)k_y \\ & (k_x^2 - k_y^2)k_z \end{aligned}$$

$$\begin{aligned} & \{j_y j_z\} \\ & \{j_z j_x\} \\ & \{j_x j_y\} \end{aligned}$$

$$\begin{aligned} & \{\sigma_y \sigma_z\} \\ & \{\sigma_z \sigma_x\} \\ & \{\sigma_x \sigma_y\} \end{aligned}$$

$R \times R'$



# 简单的哈密顿量 $H=H_0+A\cdot B$

## 导带电子

能带倾斜  $H'=eE_z z$   
最基本的电场效应

极矢量点乘  
 $er \cdot E$

$$0 \equiv \begin{matrix} \{\sigma_y \sigma_z\} \\ \{\sigma_z \sigma_x\} \\ \{\sigma_x \sigma_y\} \end{matrix} \cdot \begin{matrix} E_x \\ E_y \\ E_z \end{matrix}$$

1)  $H' = aE_z(\sigma_x k_y - \sigma_y k_x)$   
Rashba 自旋轨道耦合;

轴矢量点乘  
 $(k \times E) \cdot \sigma$

2)  $H' = b\kappa \cdot \sigma = \beta(\sigma_x k_x - \sigma_y k_y)$  — 量子阱  
Dresshauss 自旋轨道耦合

$\kappa \cdot \sigma$

以上  $E_z$  均可以用  $e_{xy}, P\delta(z-z_0)$  代替

# 价带空穴

$$H' = cE_z \{j_x j_y\}$$

空穴混合

$E_z$  均可以用  $e_{xy}$ ,  $P\delta(z-z_0)$  代替

极矢量点乘

$$\begin{matrix} \{j_y j_z\} \\ \{j_z j_x\} \\ \{j_x j_y\} \end{matrix}$$

$$\begin{matrix} E_x \\ E_y \\ E_z \end{matrix}$$

Rashba 和 Dresshauss 自旋轨道耦合  
H'很复杂

电子空穴交换作用

$$H' = dJ \cdot \sigma$$

+ 空穴混合  $\rightarrow$  激子精细结构



## 能带结构和波函数的特殊变化

空穴混合 (hole mixing)

自旋分裂 (spin splitting)



## 可观察的物理效应

平面光学各向异性

激子精细结构

自旋光电流

光子偏振和电子自旋

- 内在关联、相互转化
- 信息载体的新自由度



# 效应之一：空穴混合

hole mixing effect

# 量子阱中 $\mathbf{K}_\parallel = \mathbf{0}$ 处空穴波函数：无空穴混合

$|3/2, 3/2\rangle$   $|3/2, -1/2\rangle$   $|3/2, 1/2\rangle$   $|3/2, -3/2\rangle$  价带布洛赫波函数为基矢

$$\begin{pmatrix} H_{hh}(z) & 0 & 0 \\ 0 & H_{lh}(z) & 0 \\ 0 & 0 & H_{lh}(z) \\ 0 & 0 & 0 \end{pmatrix} \begin{pmatrix} \phi_{hh}(z) \\ \phi_{lh}(z) \\ \phi_{lh}(z) \\ \phi_{hh}(z) \end{pmatrix} = E \begin{pmatrix} \phi_{hh}(z) \\ \phi_{lh}(z) \\ \phi_{lh}(z) \\ \phi_{hh}(z) \end{pmatrix}$$

$$H_{hh}(z)\phi_{hh}(z) = E\phi_{hh}(z) \quad \text{for} \quad |3/2, \pm 3/2\rangle$$

$$H_{lh}(z)\phi_{lh}(z) = E\phi_{lh}(z) \quad \text{for} \quad |3/2, \pm 1/2\rangle$$

$$\Psi_{hh} = \phi_{nhh}(z)|3/2, \pm 3/2\rangle$$

$$\Psi_{lh} = \phi_{mlh}(z)|3/2, \pm 1/2\rangle$$

二重简并 (自旋简并)  
轻重空穴无耦合

# 量子阱中 $\mathbf{K}_\parallel = \mathbf{0}$ 处空穴波函数：有空穴混合

$$H = H_0 + F(z) \left\{ \hat{J}_x \hat{J}_y \right\}$$

$e_{xy}$ ,  $E_z$ ,  $P\delta(z-z_0)$

$$H(z) = \begin{pmatrix} H_{hh} & iF(z) & 0 & 0 \\ -iF(z) & H_{lh} & 0 & 0 \\ 0 & 0 & H_{lh} & iF(z) \\ 0 & 0 & -iF(z) & H_{hh} \end{pmatrix}$$

耦合的薛定谔方程：

$$H_{hh}(z)\phi_{hh}(z) + iF(z)\phi_{lh}(z) = E\phi_{hh}(z)$$

$$H_{lh}(z)\phi_{lh}(z) - iF(z)\phi_{hh}(z) = E\phi_{lh}(z)$$

# 空穴波函数发生混合

$$\Psi_{nh} = \phi_{nh}(z) |3/2, \pm 3/2\rangle + i\alpha \phi_{ml}(z) |3/2, \mp 1/2\rangle$$

$$\Psi_{mh} = \phi_{ml}(z) |3/2, \mp 1/2\rangle + i\alpha \phi_{nh}(z) |3/2, \pm 3/2\rangle$$

能级移动  $\alpha^2 |E_{nh} - E_{ml}| / 2$  非常小，可以忽略

$$\alpha = \frac{\int \phi_{nh}(z) F(z) \phi_{ml}(z) dz}{|E_{nh} - E_{ml}|}$$
 1%量级

重空穴波函数中具有轻空穴的分量  
轻空穴波函数中具有重空穴的分量



# 空穴混合的效应（闪锌矿结构）

- 1) 平面内光学各向异性
- 2) 激子精细结构：平面光学各向异性的特例
- 3) 空穴自旋驰豫
- 4) 其它

# 空穴混合如何导致平面光学各向异性？



波函数在XY平面内的投影

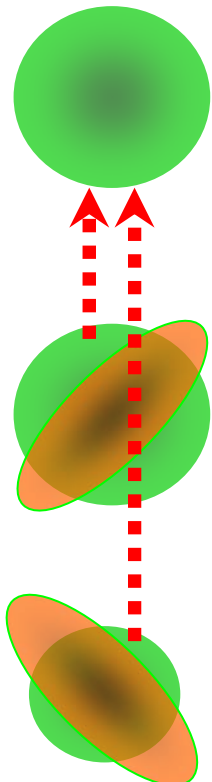
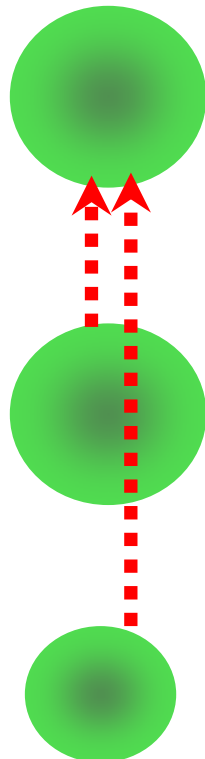
导带  $|s\rangle$

$$|3/2, 3/2\rangle =$$

$$\frac{1}{\sqrt{2}}(X + iY)\uparrow$$

$$|3/2, -1/2\rangle =$$

$$\frac{1}{\sqrt{6}}[(X - iY)\uparrow + 2Z\downarrow]$$



$$f(r) + \alpha XY$$

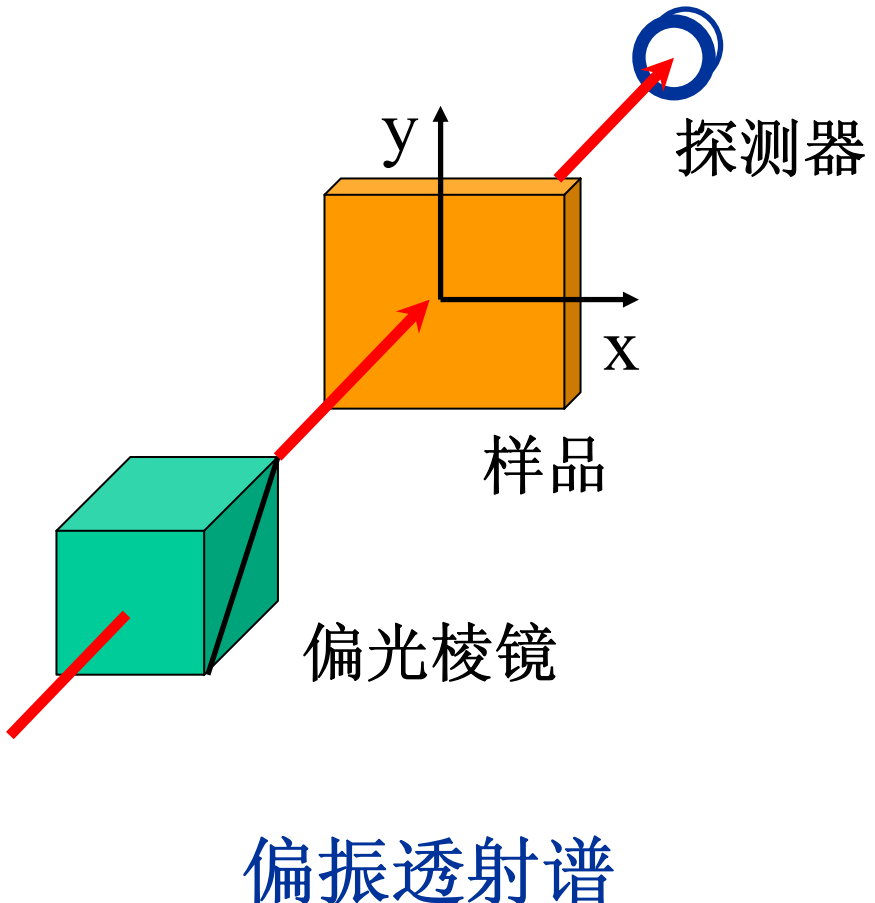
$$g(r) - \alpha XY$$

# 平面光学各向异性的测量

传统的偏振光谱：  
旋转偏振片或者样品  
两次测量

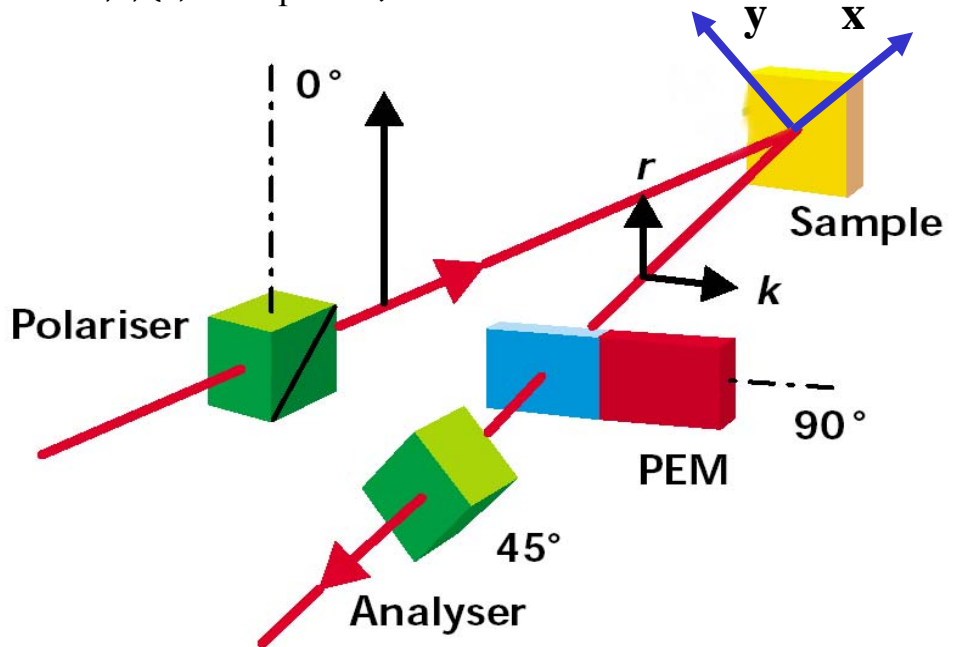
$$P = \frac{I_x - I_y}{I_x + I_y}$$

灵敏度有限： 5%  
系统稳定性影响严重！



# 反射差分谱: reflectance difference spectroscopy (RDS)

80年代末, Aspnes 等



$$\Delta r/r = 2(r_x - r_y)/(r_x + r_y)$$

极其灵敏:  $10^{-5}$

表面重构  
表面生长动力学过程  
表面原子吸附和脱附  
原位测量技术

将RDS应用于半导体界面、量子阱和纳米结构等研究，量子阱和纳米结构量子跃迁RDS研究的SCI论文几乎全部来自我们。

# 量子阱平面光学各向异性的RDS研究



☒ 原子偏析

InGaAs/GaAs

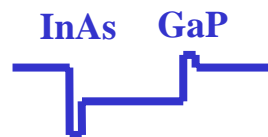


☒ 界面有序结构

GaAs/AlGaAs



☒ 界面化学键组成的差异 InGaAs/InP



☒ 组分渐变、台阶  
界面插入层等

← 阵形控制

**GaAs/AlGaAs** —— 阵宽, 应变, 主动控制, 激子精细结构

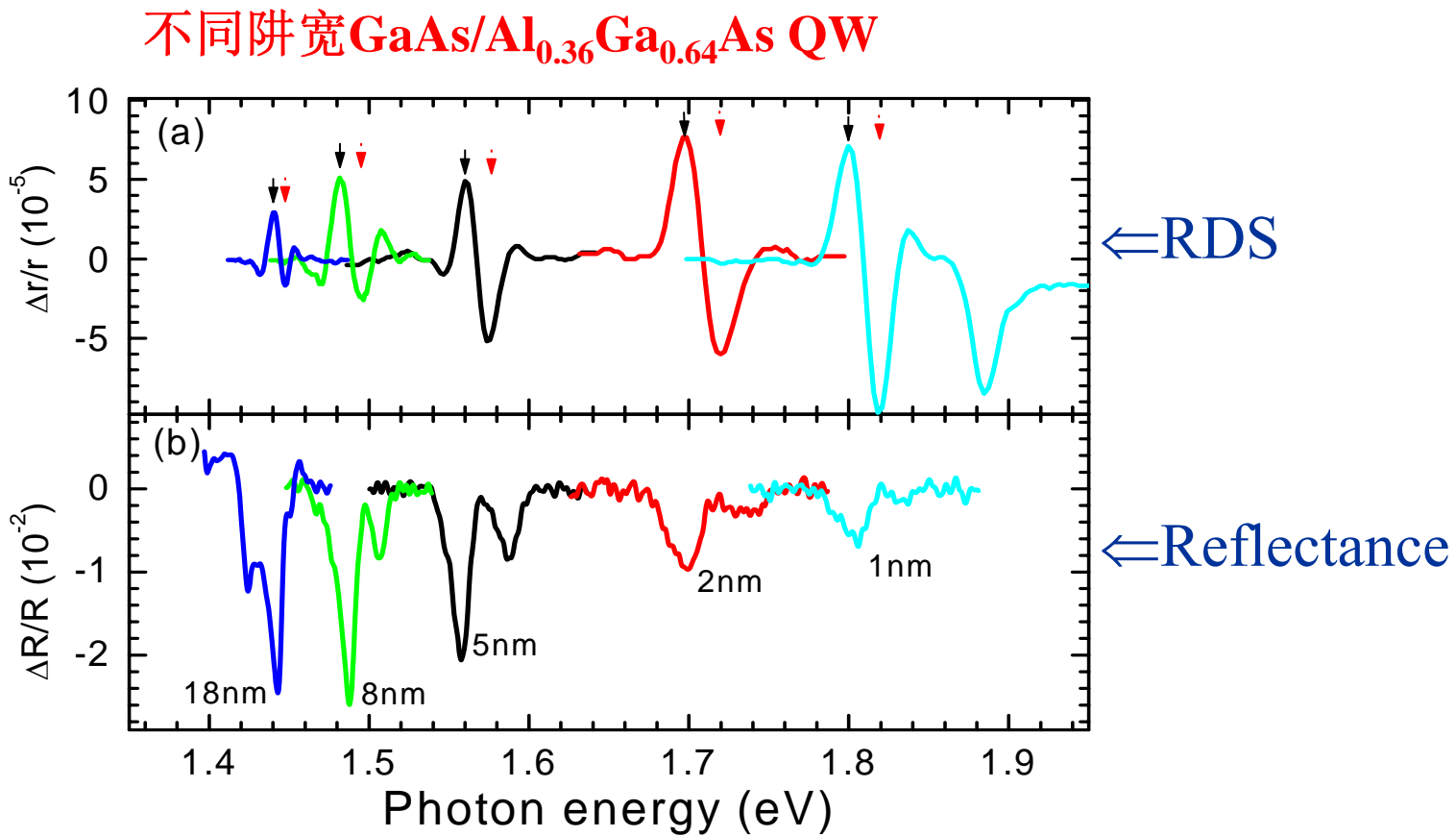
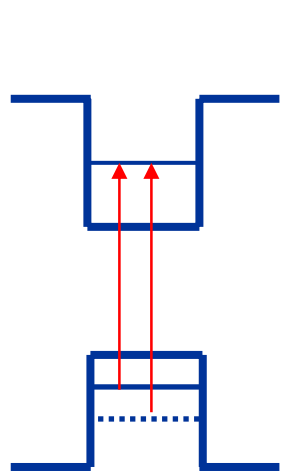
**InGaAs/GaAs** —— In原子偏析、应变等

**InGaAs/InP** —— 界面化学键, 原子互混

**GaNAs/GaAs , GeSi/Si**

**InAs/GaAs** 量子点的浸润层演化 (InAs超薄量子阱)

# 量子阱界面相关的平面光学各向异性



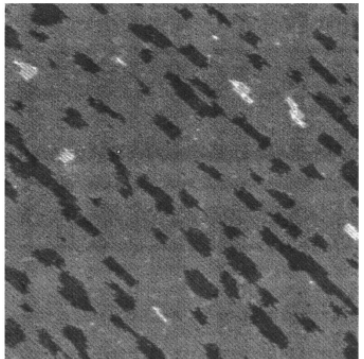
界面相关的RDS信号，随阱宽减小而增大！

*Phys. Rev. B 66, 19532120 (2002)*

# GaAs/AlGaAs 量子阱 中界面引起各向异性的两种可能

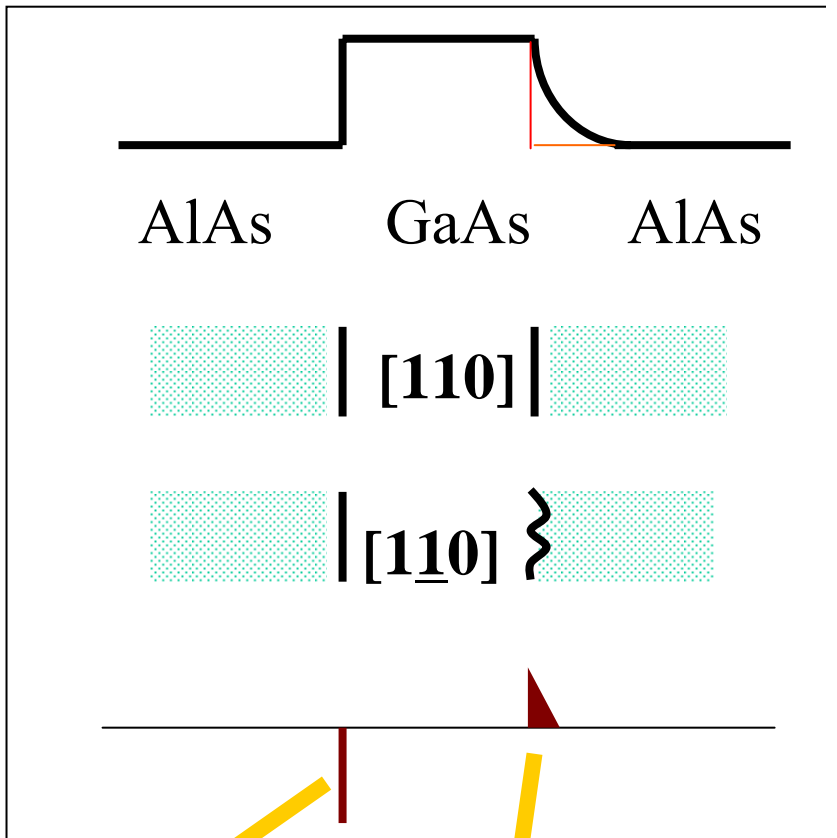
## Ga 原子偏析

## 界面各向异性结构

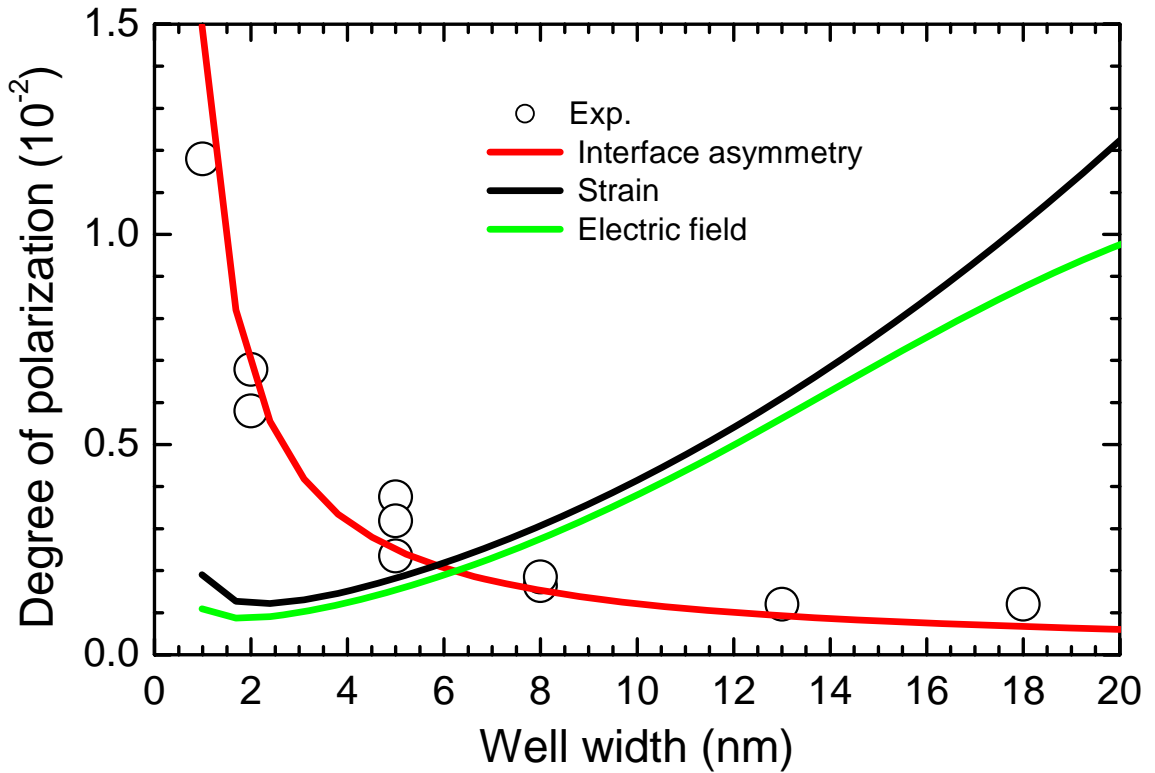


$F(z) = ?$  对称阱  $P_0 \delta(z + w/2) - P_0 \delta(z - w/2)$

不对称阱  $P_1 \delta(z + w/2) - \frac{P_2}{l} \exp\left(-\frac{z - w/2}{l}\right) \Theta(z - w/2)$



# GaAs/AlGaAs量子阱1H1E的偏振度随阱宽的变化



光学各向异性来自界面不对称——界面各向异性的岛状起伏。  
偏振度小于1.5%：用普通光学



轻重空穴混合的程度取决于空穴混合能与空穴能级间距之比(微扰论):

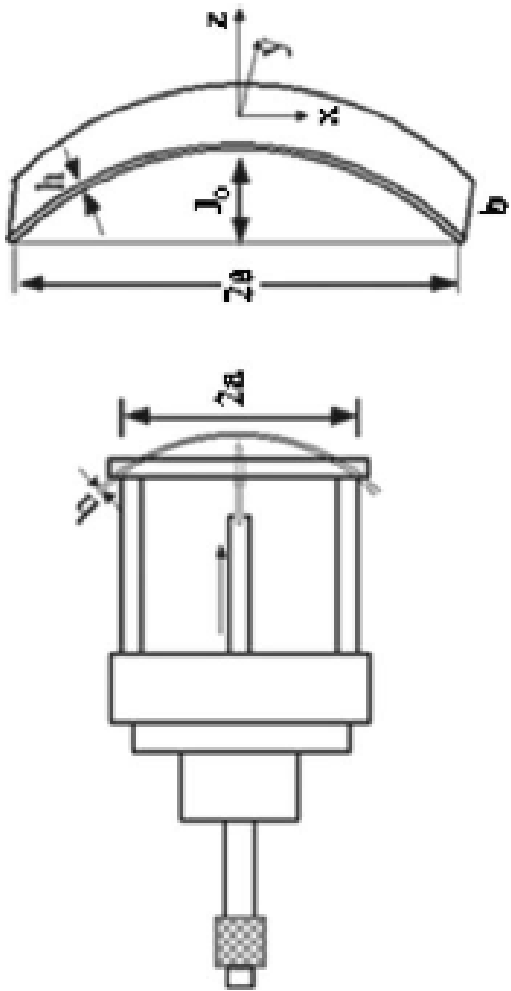
$$\frac{\langle 1H | F(z) | 1L \rangle}{\Delta E}$$

量子阱宽度增大

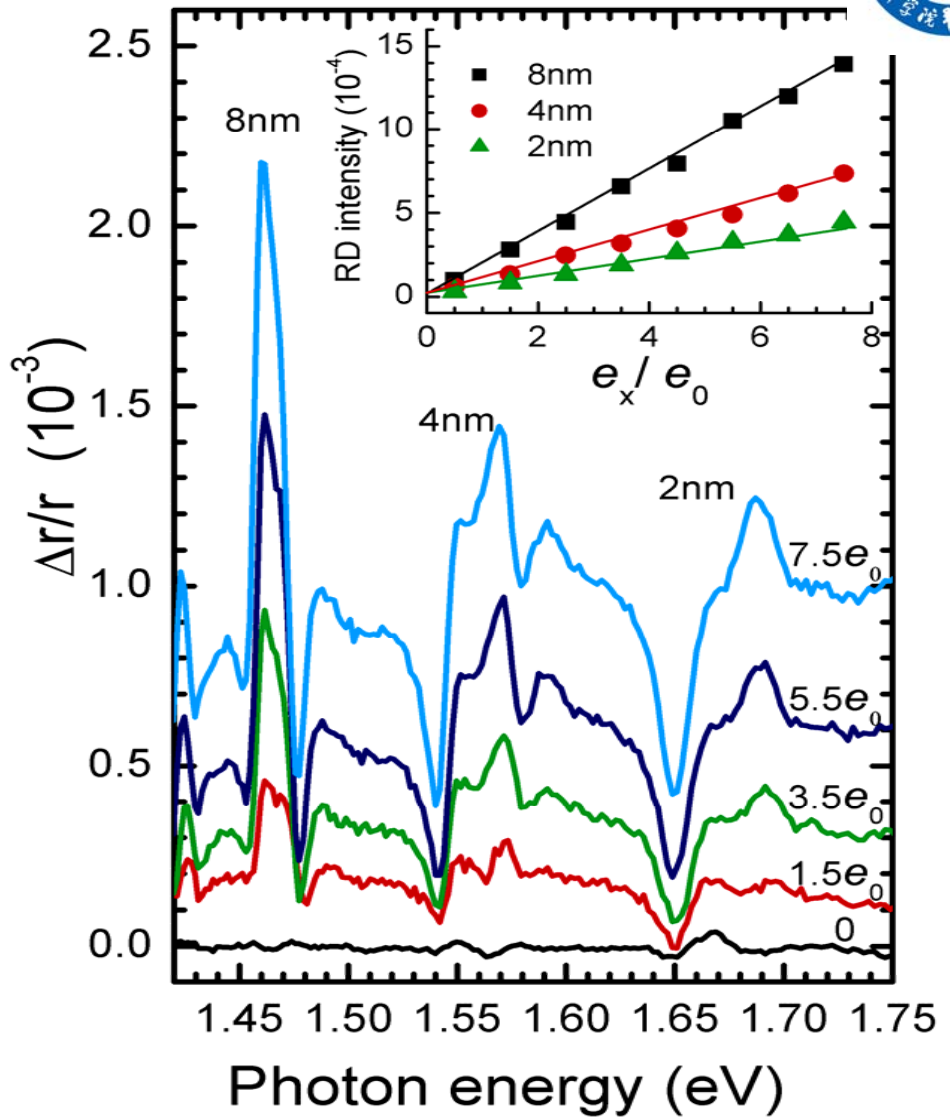
$$\Delta E \propto 1/w^2$$

$\langle 1H | F(z) | 1L \rangle$  几乎不变:  $e_{xy}, E_z$   
近乎指数减小: 界面

# 应变引起的平面光学各向异性

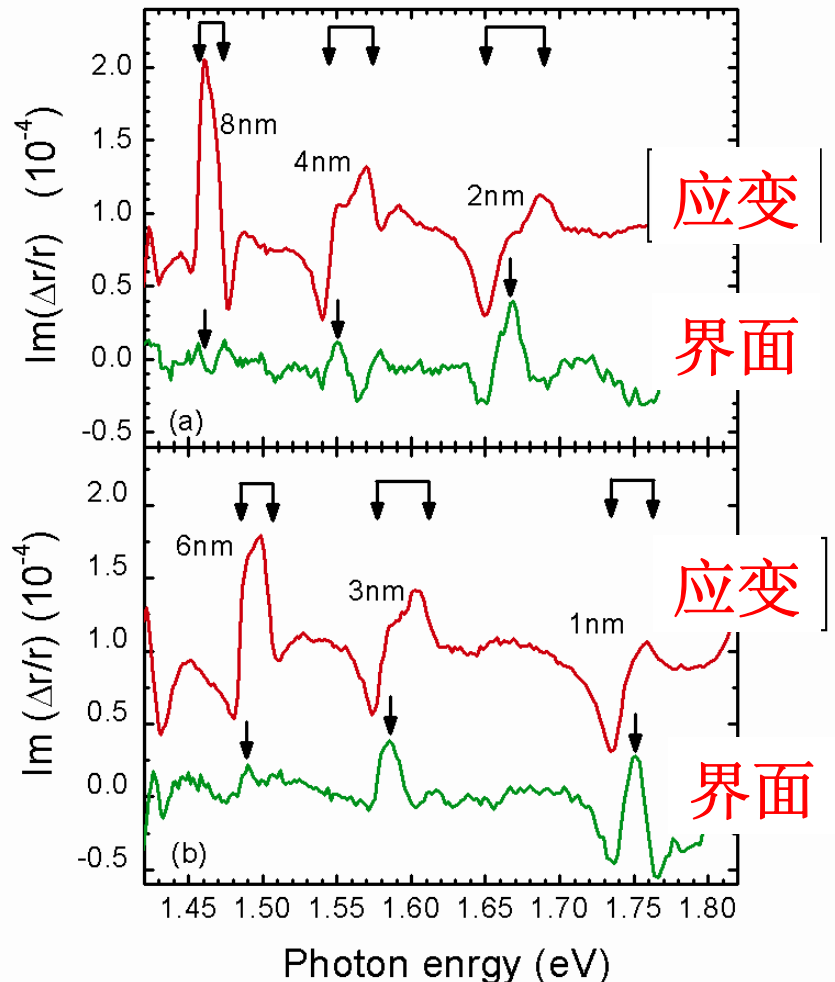


应力装置



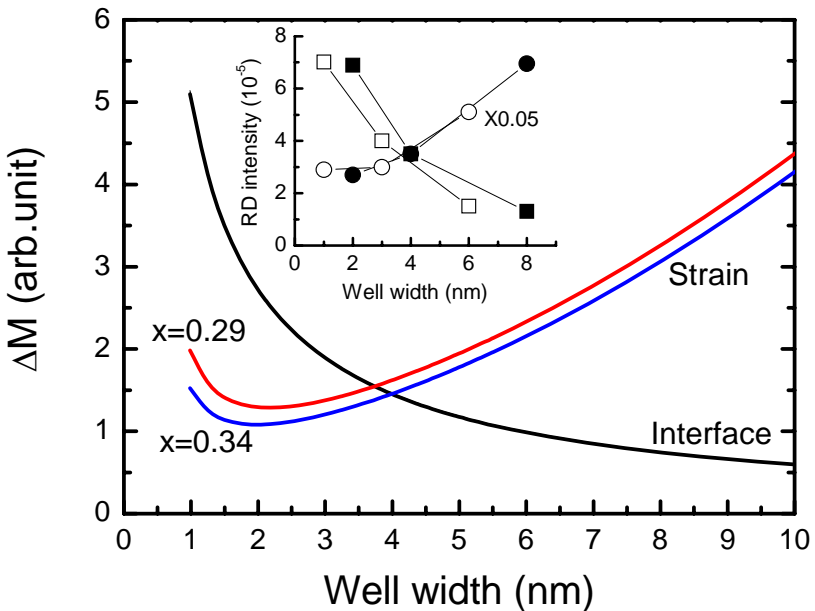
GaAs/AlGaAs量子阱的RDS谱

# 界面和应变的平面光学各向异性比较



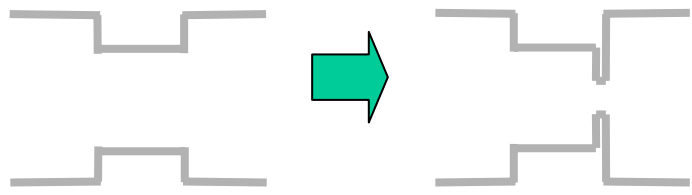
不同阱宽 **GaAs/AlGaAs** 量子阱的  
**RDS** 谱

随着阱宽增大，界面导致的光学各向异性信号是减小的，而应力导致的信号则是增加！



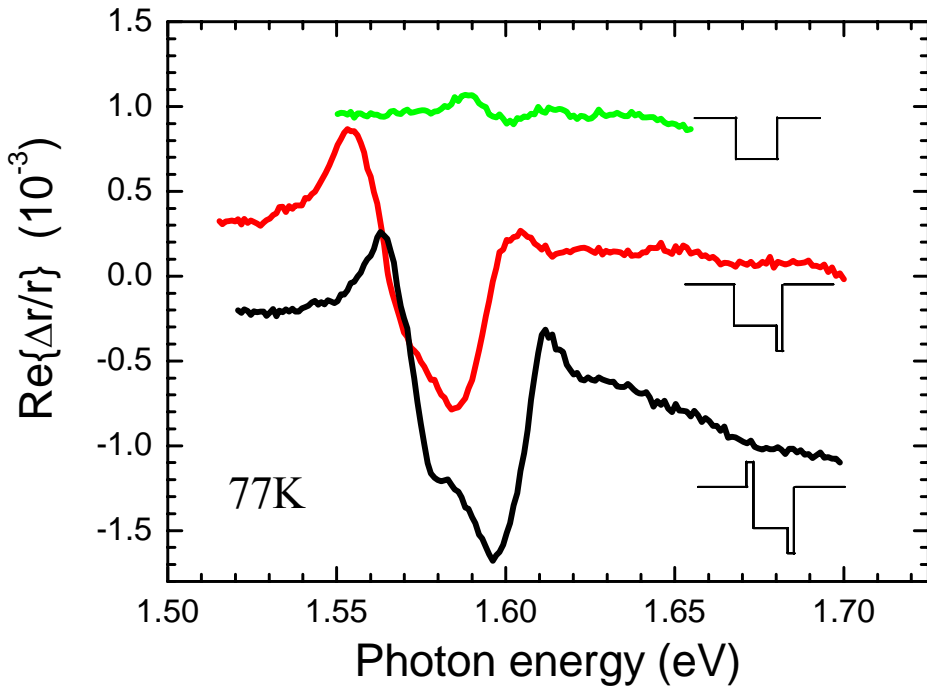
理论计算与实验结果吻合很好，并确定出重要的界面势参数

# 量子阱光学各向异性的主动控制



量子阱界面插入1ML的InAs后，量子阱各向异性增强了一个量级！

GaAs/AlGaAs量子阱



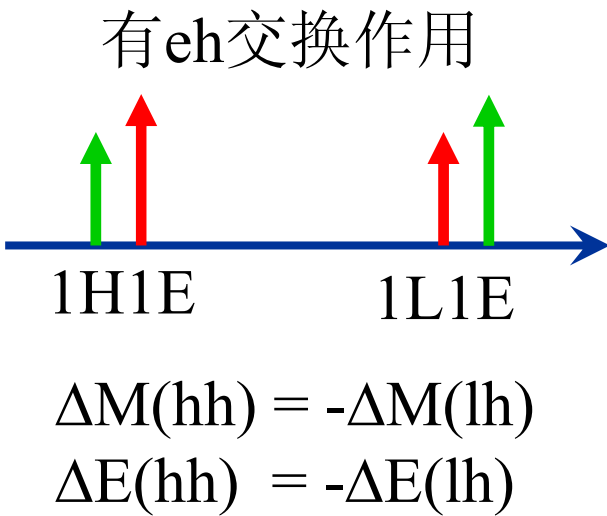
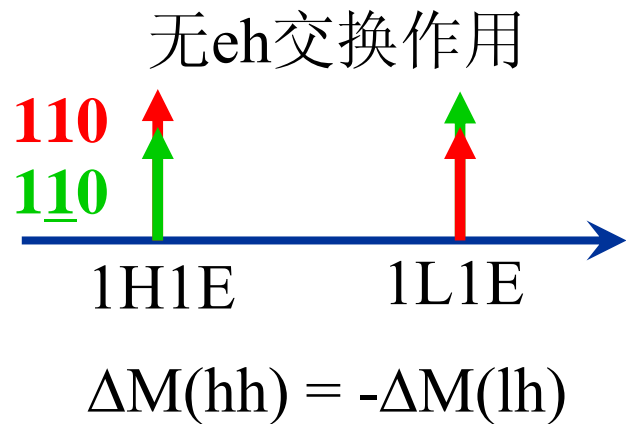
指导新型量子器件设计

# 量子阱激子的精细结构

电子空穴交换作用 +  $C_{2V}$  反演不对称  $\rightarrow$  激子分裂

$$H' = a \vec{J} \vec{\sigma} + F(z) \left\{ J_x J_y \right\}$$

如果只考虑1H和1L的空穴混合：



$$\Delta E \propto \frac{F_{hl} E_{eh}}{\Delta E_{hl}}$$

10–100 μeV



- ☑ 当量子阱的对称性降低到 $C_{2V}$ 时，由于电子空穴交换作用，简并的激子会劈裂成两个能级。
- ☑ 激子分裂能很小（微电子伏量级），对光子纠缠对形成（量子信息）有重要影响！
- ☑ 测量困难：激子光谱线宽远大于激子劈裂能量  
量子拍和ODMR：  
II型GaAs/AlAs量子阱  
极低温，强磁场  
  
I型量子阱，从未有实验报道！



# RDS: 测量激子分裂的新方法

我们证明了, 由于激子分裂, 激子各向异性介电函数 $\Delta\varepsilon_s$ 与激子介电函数 $\varepsilon_s$ 具有以下关系:

$$\Delta\varepsilon_s = -\Delta E_s \frac{d\varepsilon_s}{dE} + 2P_s \varepsilon_s$$

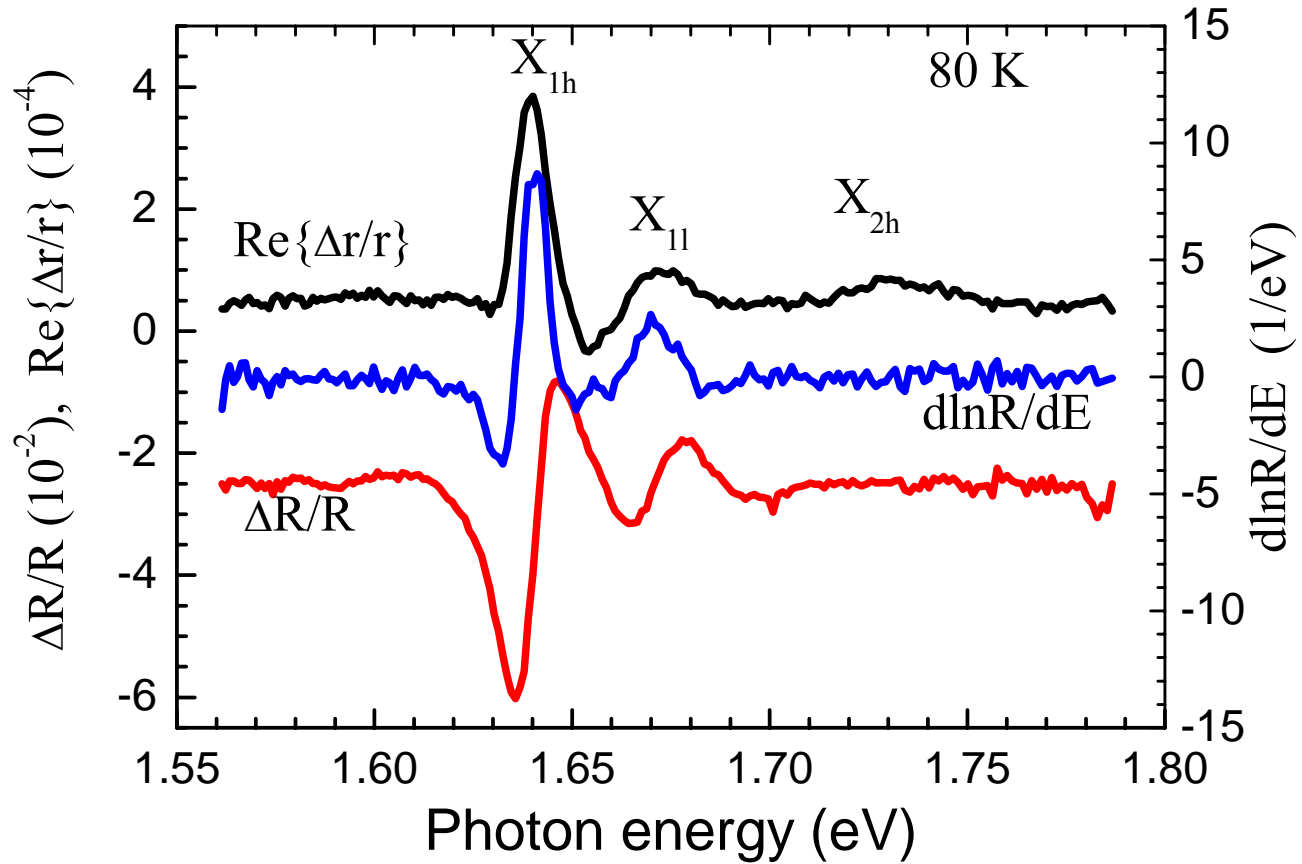
$$2 \operatorname{Re} \left\{ \frac{\Delta r}{r} \right\} = -\Delta E_s \frac{d \ln R}{dE} + P_s \frac{\Delta R}{R}$$

利用**RDS**, 通过光谱拟合, 直接测量出激子分裂能 $\Delta E_s$ 和激子偏振度 $P_s$

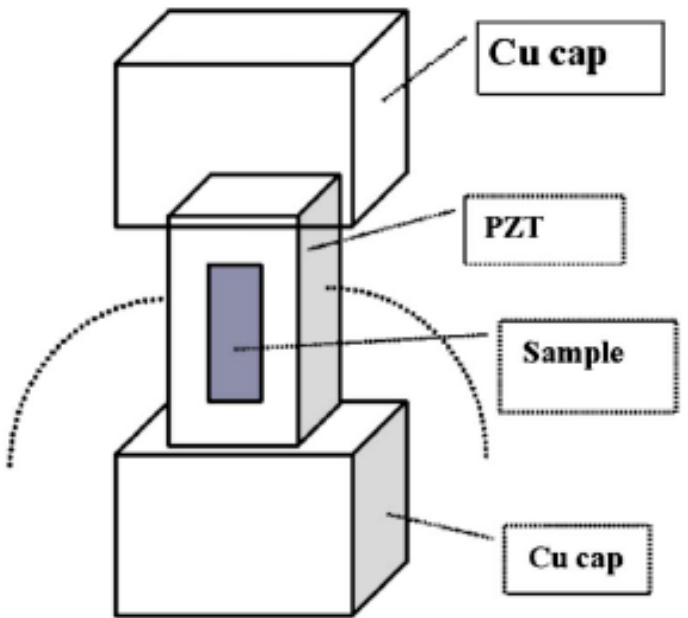
新方法的特点: 液氮温度测量, 无需磁场!  
I型量子阱激子分裂

一个例子： 5nm-GaAs/Al<sub>0.36</sub>Ga<sub>0.64</sub>As

重空穴激子：  $\Delta E = 64 \mu\text{eV}$ ;  $P = 0.008$

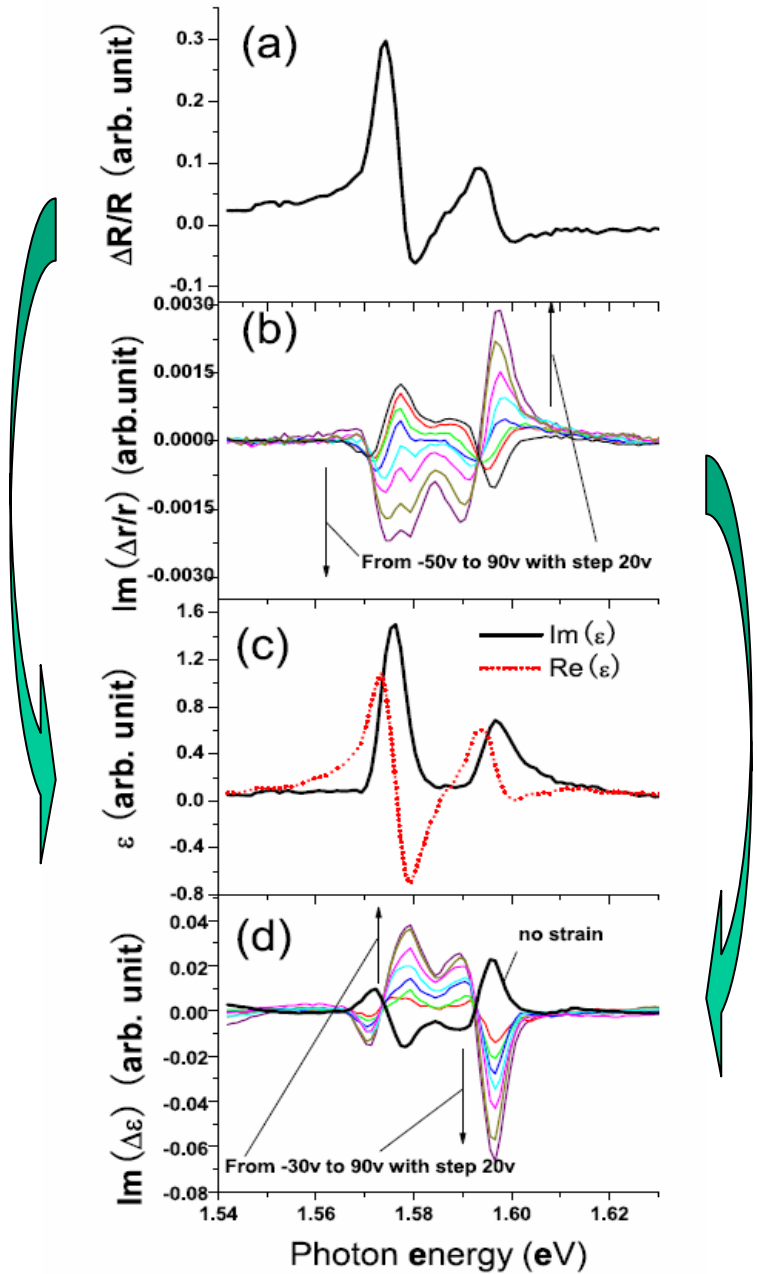


# 应力建能否调节激子分裂？



低温应力装置：压电陶瓷

# 80K不同应变下的反射谱和RDS谱



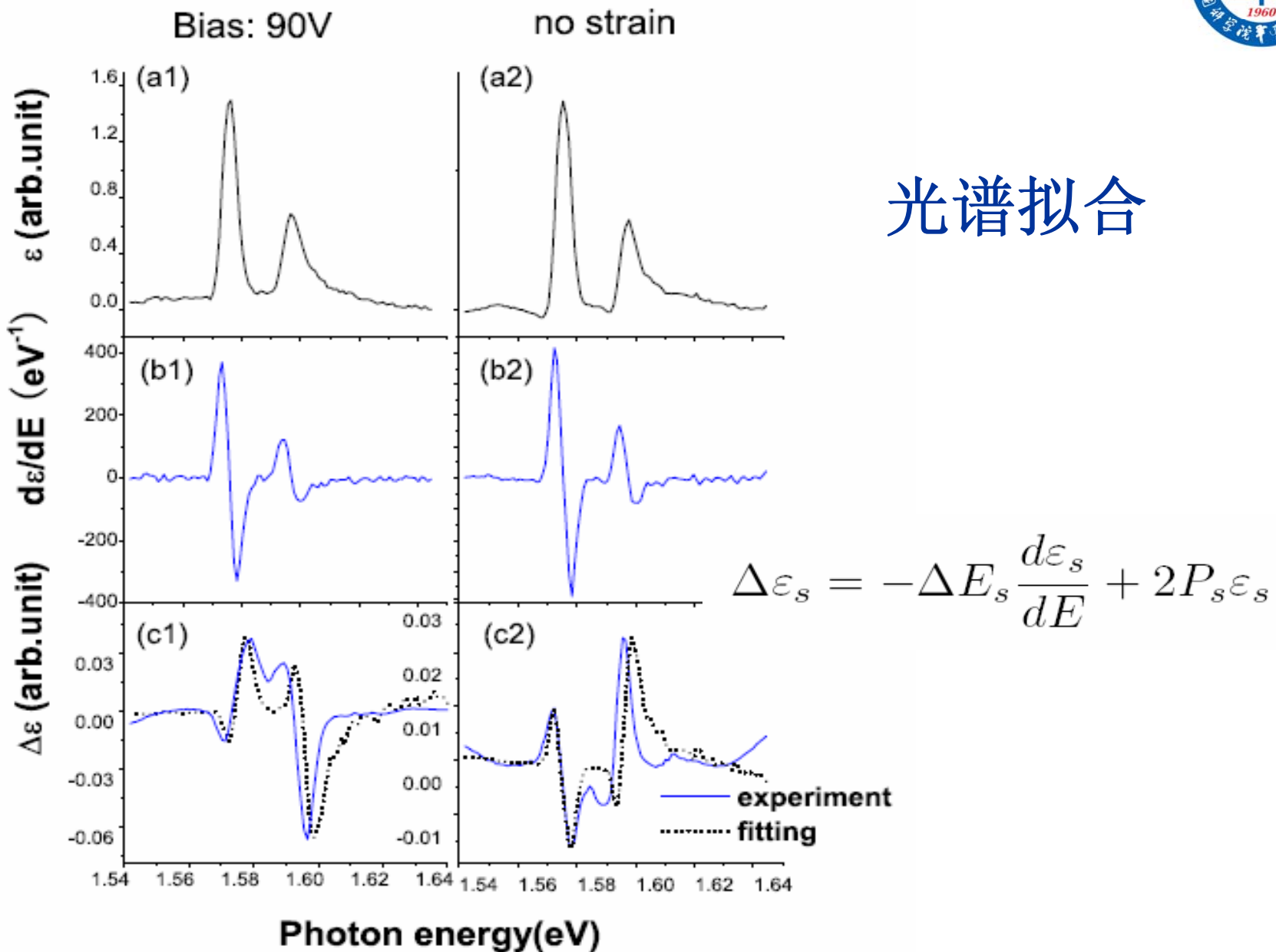
常规反射谱

应力作用下的RDS

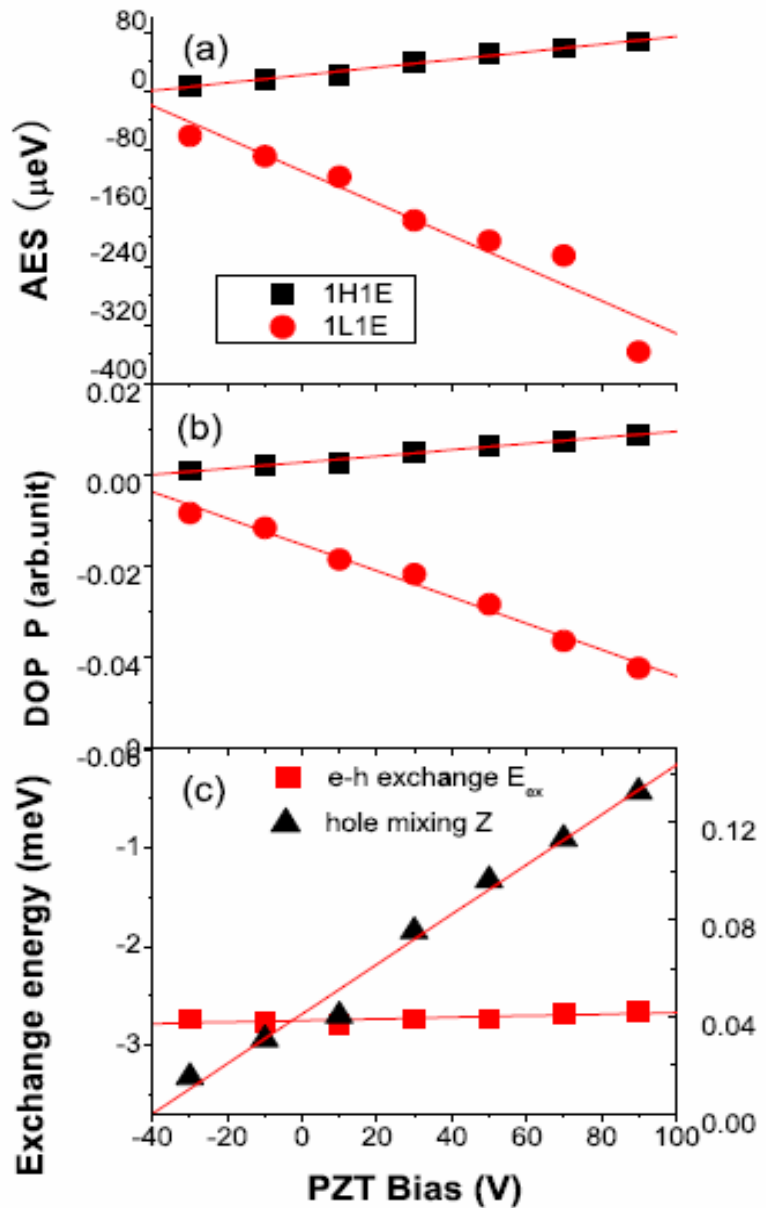
QW介电函数

各向异性的QW介电函数

$$\Delta \varepsilon_s = -\Delta E_s \frac{d\varepsilon_s}{dE} + 2P_s \varepsilon_s$$



# 演示了应变对激子分裂的调控作用



激子分裂能随应变线性变化

激子偏振度随应变线性变化

电子空穴交换能基本不变

空穴耦合能反映各向异性  
随应变线性变化

# InAs/GaAs应变自组织量子点

量子点（人工原子）：  
电子三维受限，产生分立能级

## 基础研究：

精细结构、相干控制、  
近藤效应、库仑阻塞、  
腔电动力学 等等

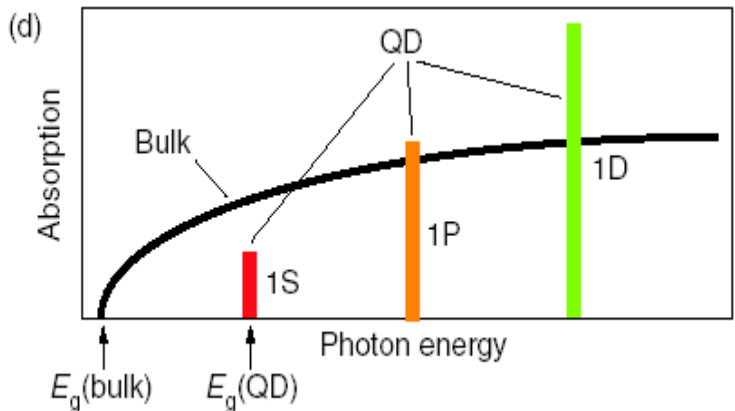
## 新型器件：

**QD 激光器**: 低阈值电流密度、弱的温度依赖关系

**QD 红外探测器**: 正入射

**QD 单光子光源**: 可控发射

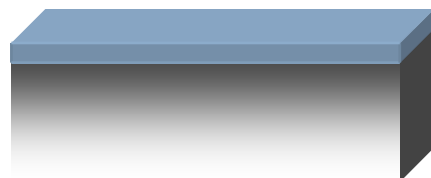
**QD 量子比特**: 容易集成



# SK生长模式生长QDs

生长初期,二维层状生长,称为浸润层(WL)。浸润层厚度超过一个临界厚度时,生长模式转变成三维(3D)生长!

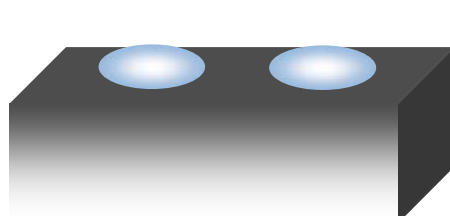
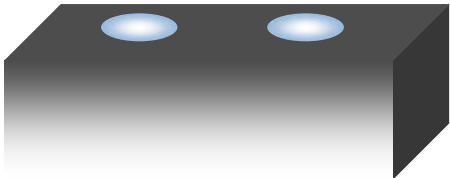
FM



2D growth

晶格匹配

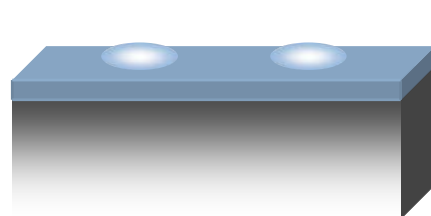
VW



3D growth

大晶格失配

SK

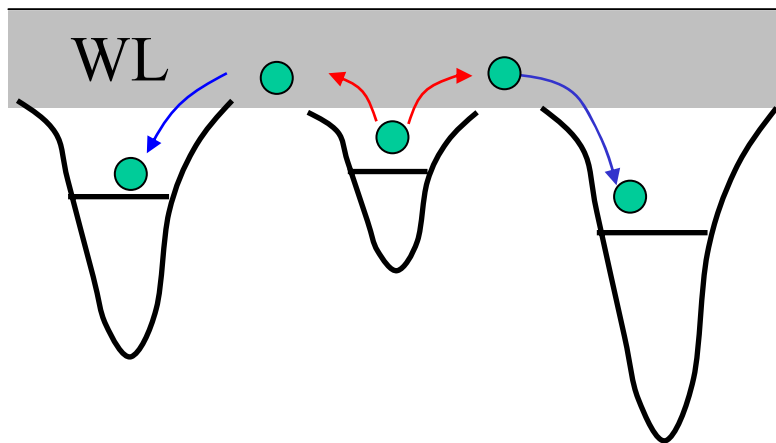


2D-3D growth

小晶格失配

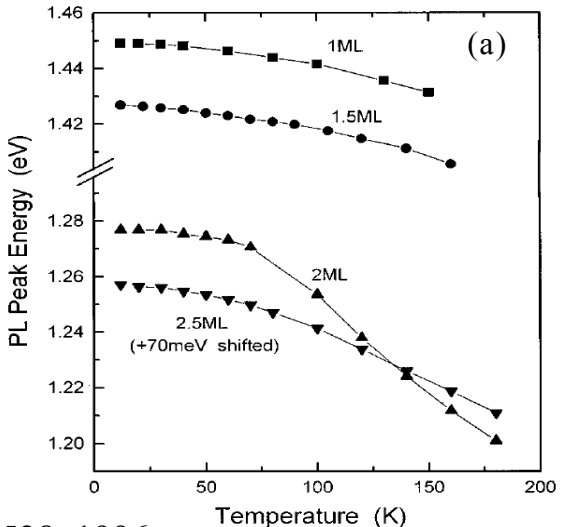
# 浸润层的重要影响

不同量子点之间载流子再分布的通道



Phys. Rev. B 54, 11528, 1996

发光峰的快速红移



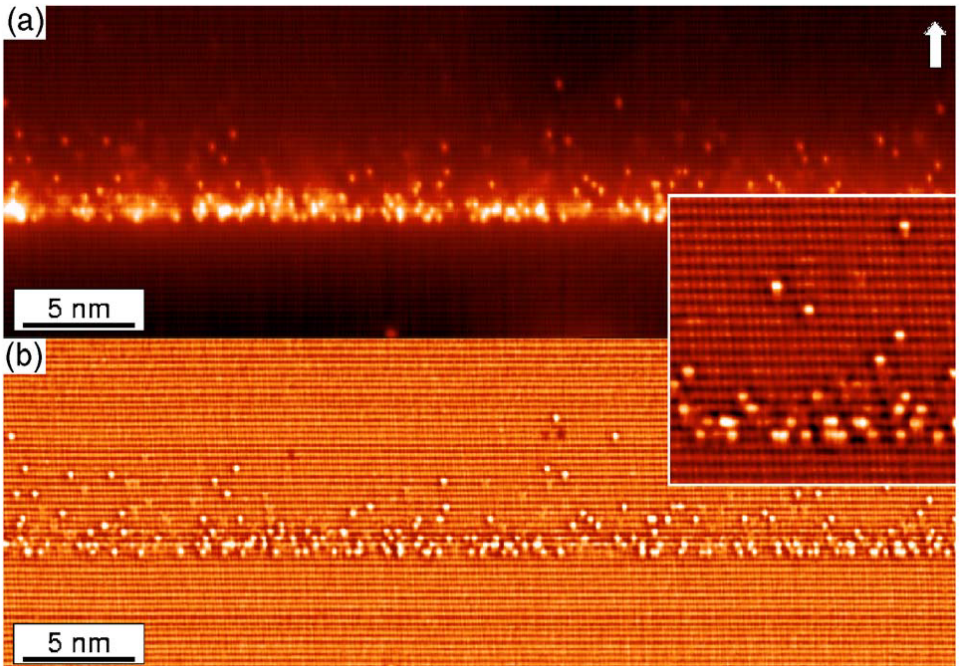
理论预言: WL对QD激光器的调制速度有重要影响

Appl.Phys. Lett. 77, 3325(2000)

# 如何表征 WL?

- XSTM

InAs WLs can be directly characterized by cross-sectional scanning tunneling microscopy.



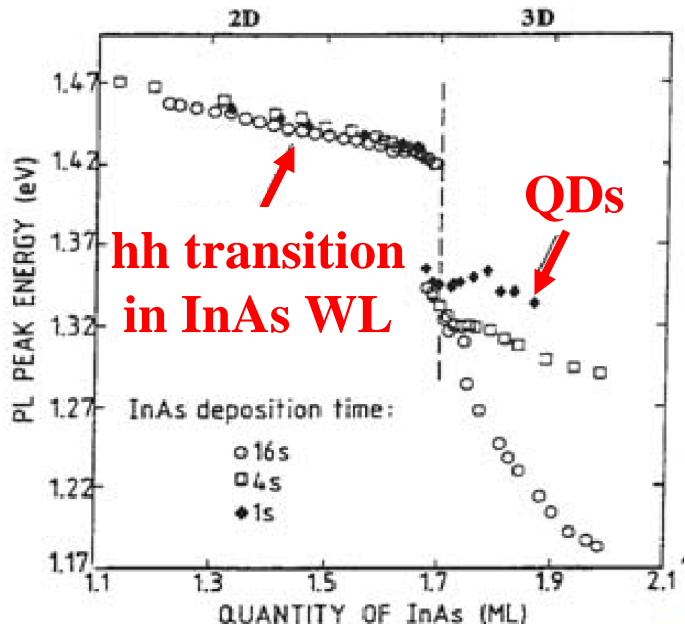
APL. 87, 111903 2005

问题: 样品必须在真空中解理和测量!

# 光学方法

## Photoluminescence

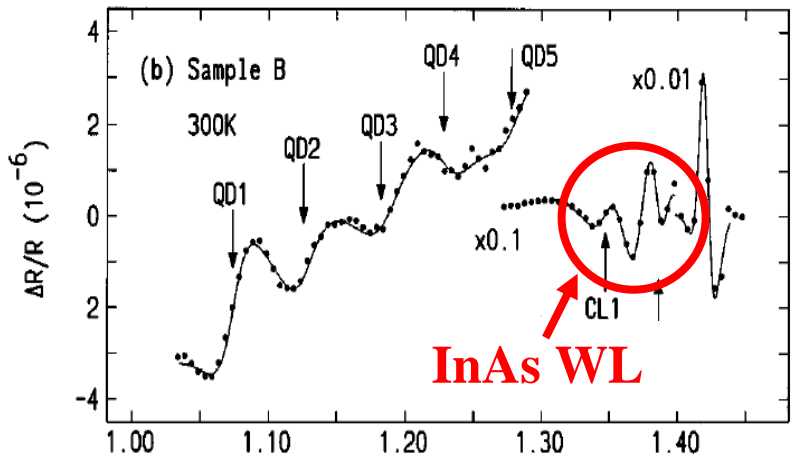
Usually hh is observable before QD formation



J Crystal Growth 150, 351(1995)

## Photoreflectance

Both hh and lh are observed, but interfered with  $E_g$  signal



Appl. Phys. Lett. 73, 3268(1998)

WL系统研究缺乏！



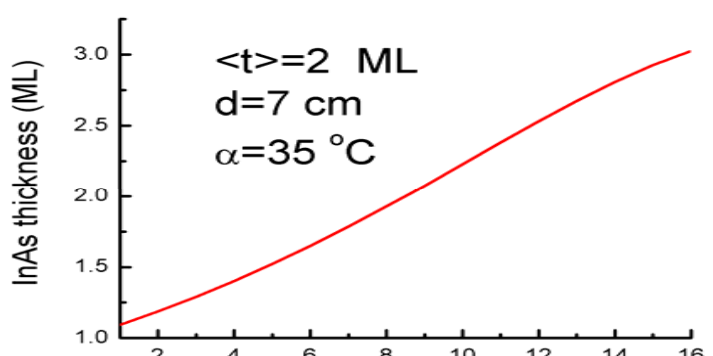
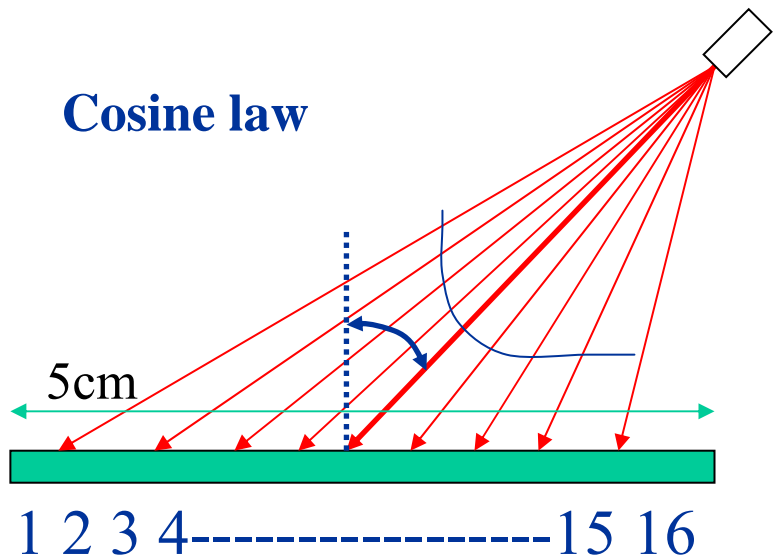
# 用RDS系统研究了InAs/GaAs QD浸润层的演化

## InAs QD浸润层——超薄InAs量子阱

- In原子偏析+各向异性应变 → 平面光学各向异性， RDS技术可用；
- GaAs带边激子通常不具有平面光学各向异性， 避免了对InAs浸润层信号的干扰；
- RDS不但给出跃迁能量， 还可给出各向异性强弱信息， 后者与浸润层中In原子平面分布——In原子的运动——密切相关。

# 样品结构

- 衬底不旋转

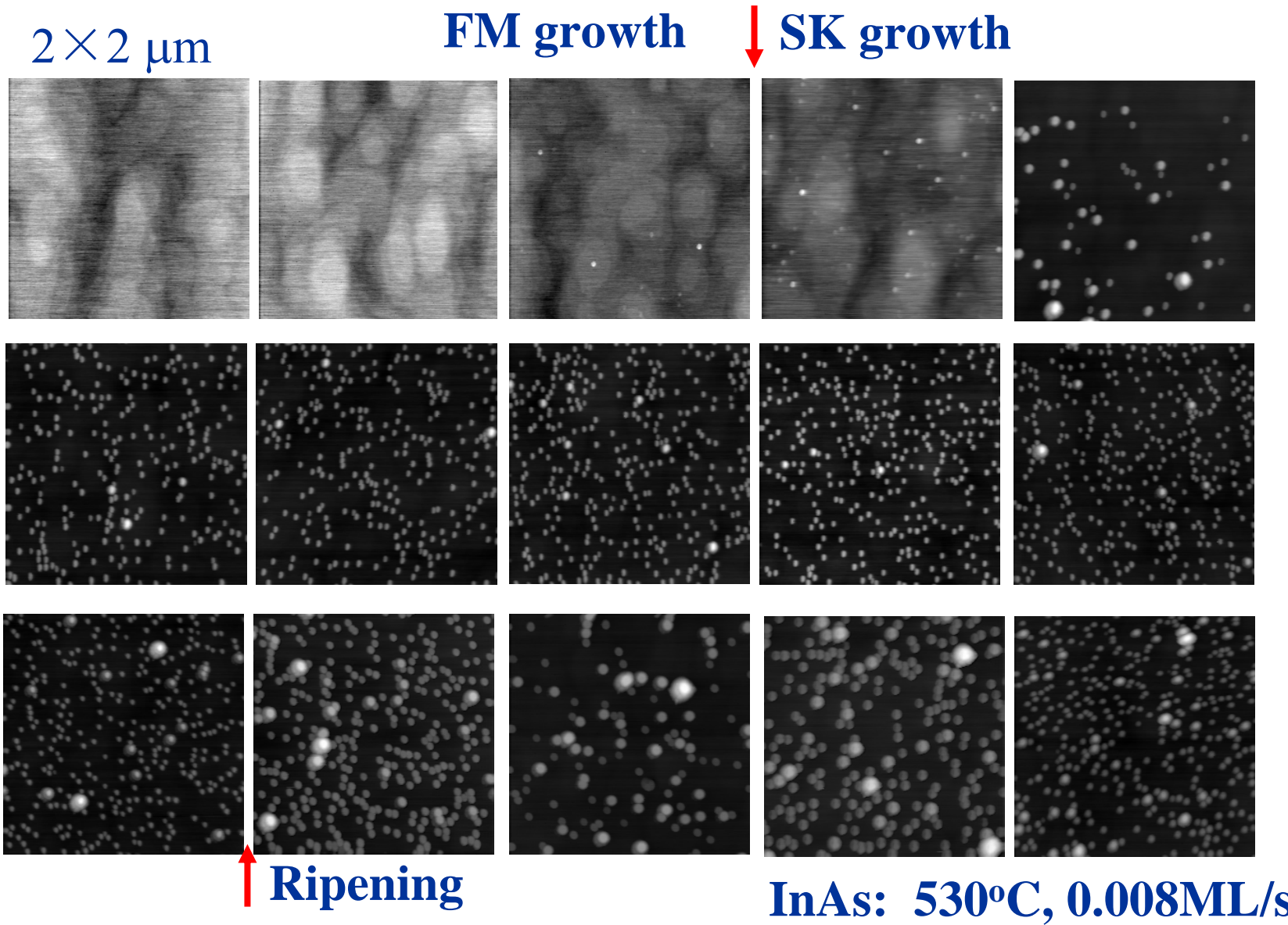


2英寸样品上In原子厚度分布

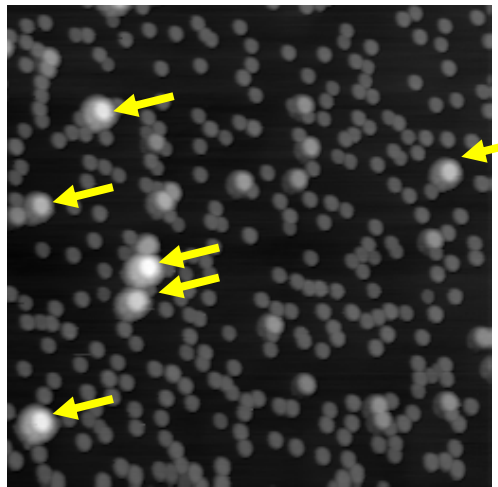
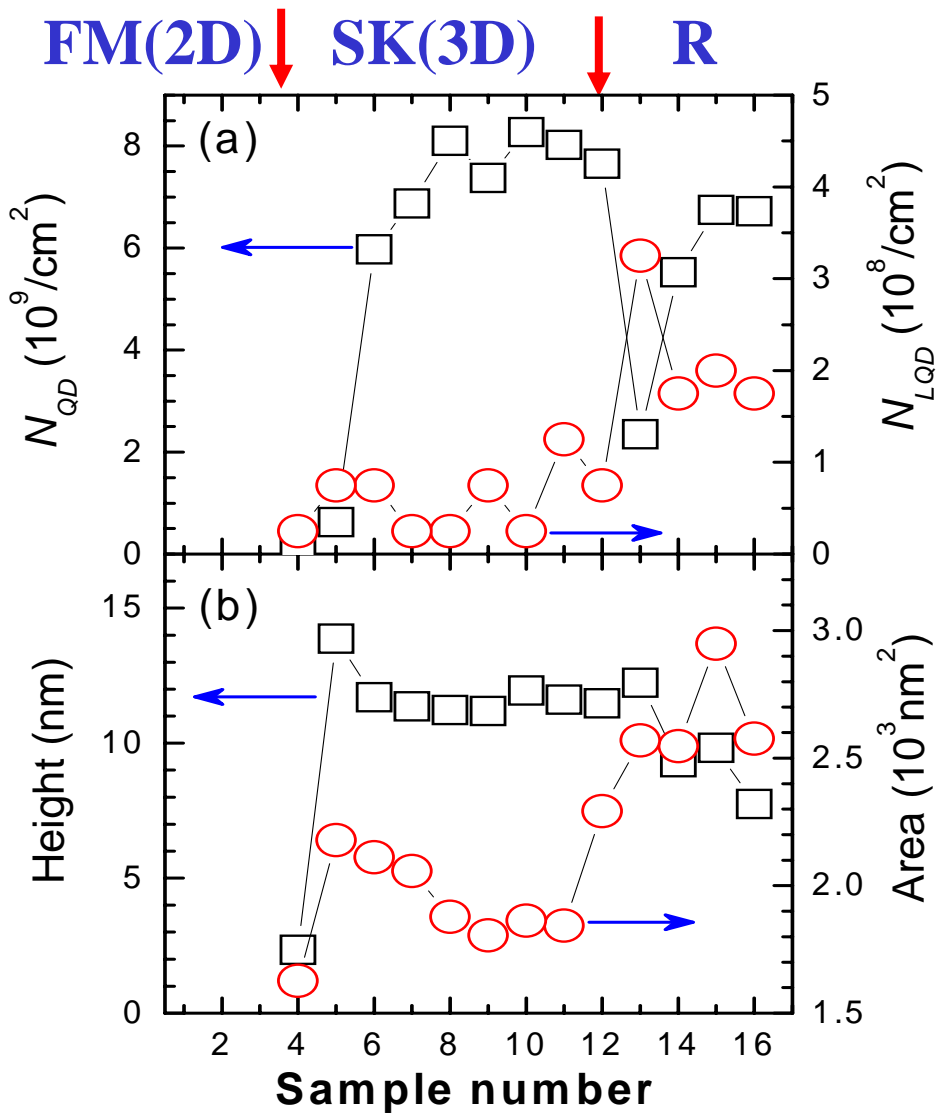
$\langle t \rangle$ ,	生长温度,	生长速率
2.0ML	<b>530°C</b>	<b>0.008ML/s</b>

QDs和 WL达到某种平衡

# AFM images



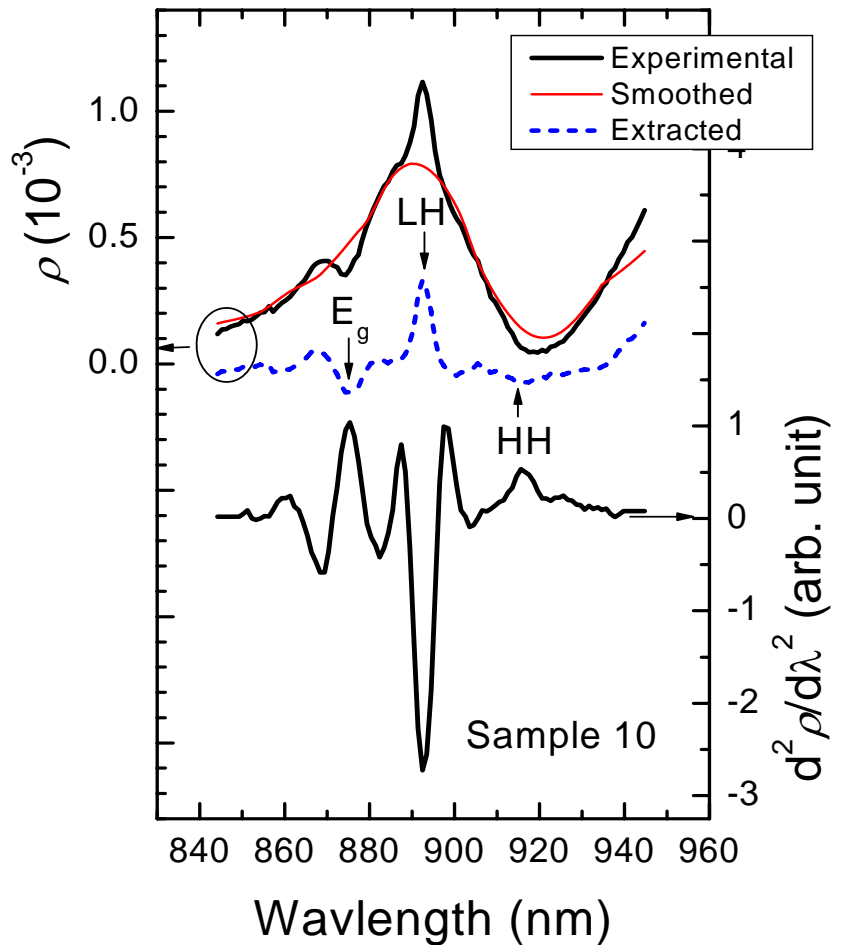
# AFM results



12#

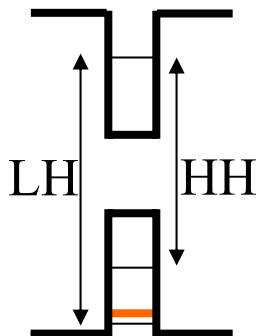
**9-16: Huge dots  
2 times larger in sizes**

# 典型的RDS结果 10th

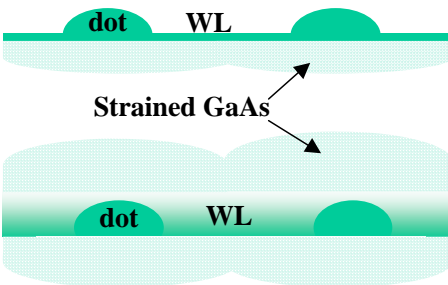


WL as a thin QW

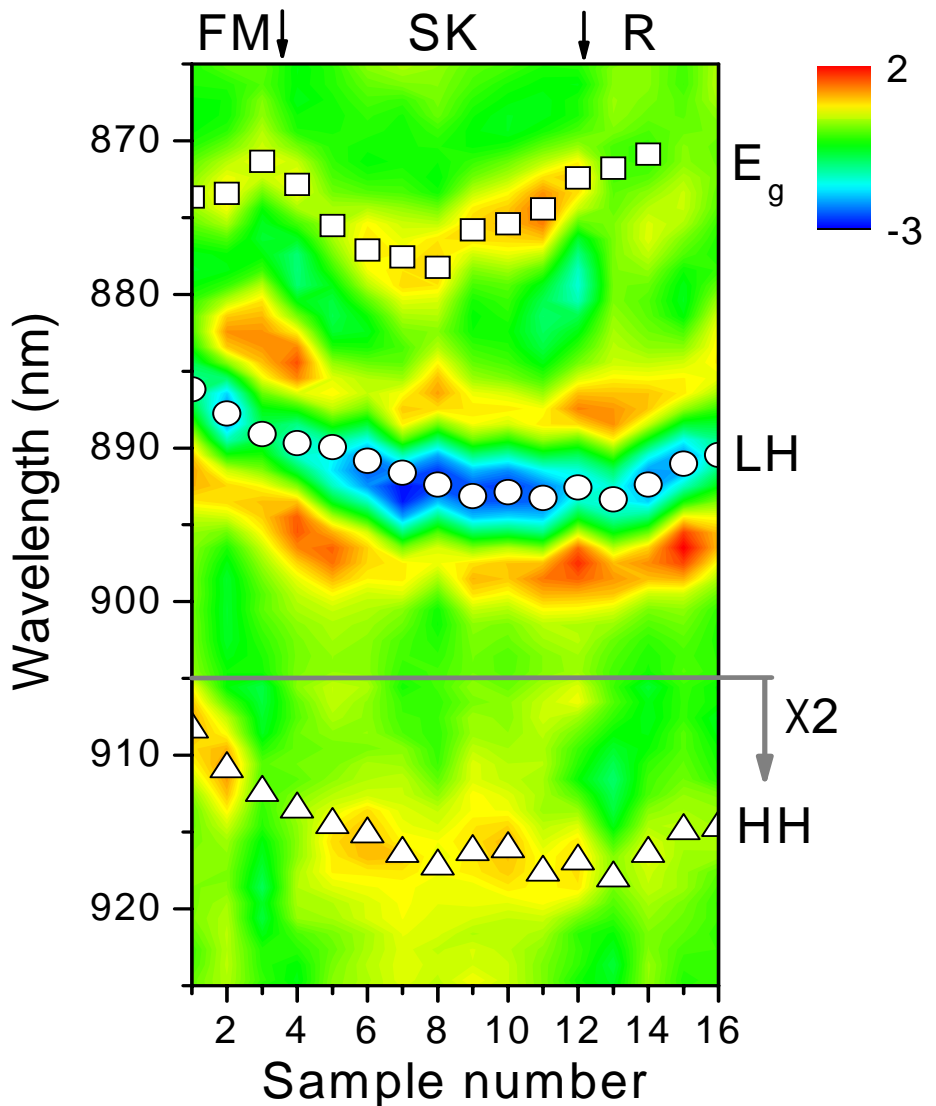
Conduction band



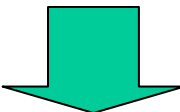
Valence band



# RD spectra varying with sample numbers



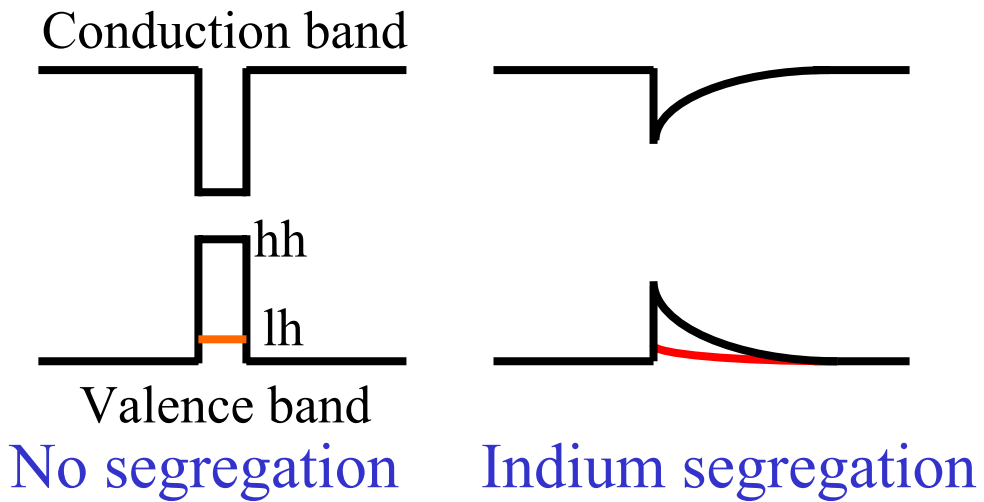
Shift of hh and lh  
transition energies



Variation of InAs  
amount in WL

# 计算模型

## 1) In原子偏析



Indium composition distribution

$$X_{In} = \begin{cases} 0 & z < 0 \\ \frac{t_{WL}}{l} \exp(-z/l) & z > 0 \end{cases}$$

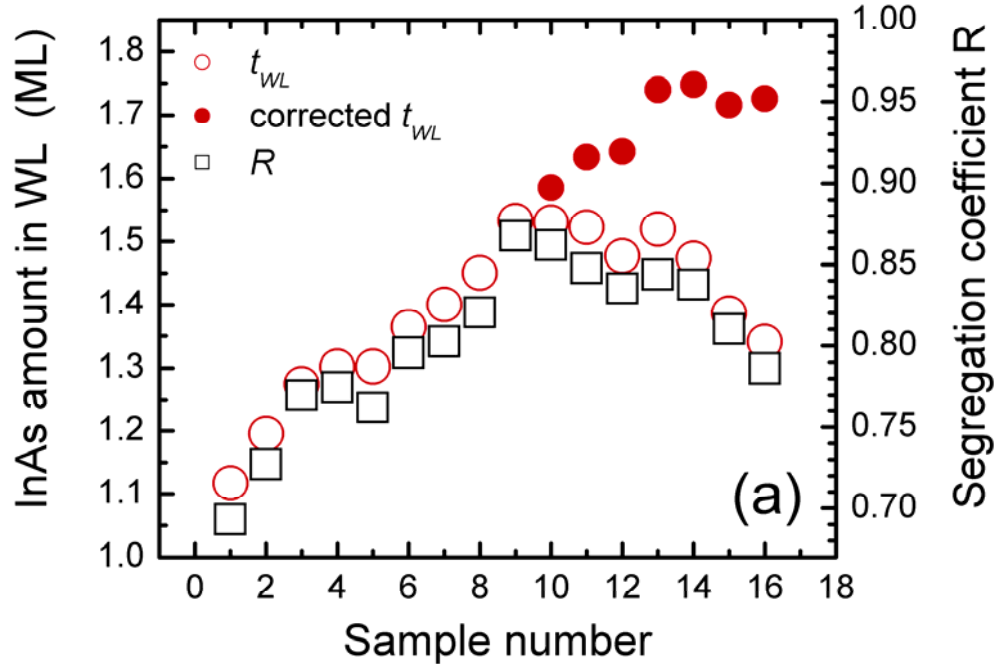
$t_{WL}$ : InAs amount in WL  
 $l$  : segregation length

## 2) 激子效应: binding energies for hh and lh

## 3) 应变效应

$$E_{hh}, E_{lh} \Rightarrow t_{WL}, l$$

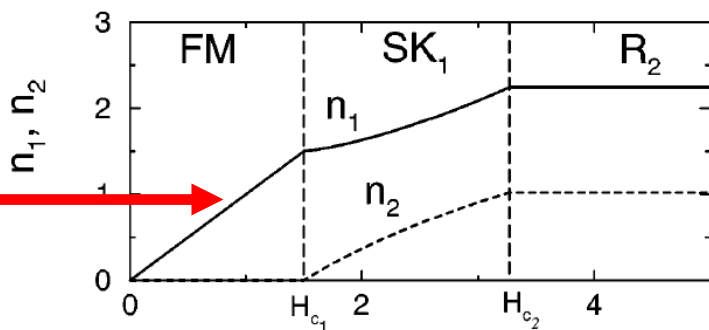
# 浸润层中InAs含量以及In偏析系数



Phys. Rev. Lett. 79, 3708 (1997)

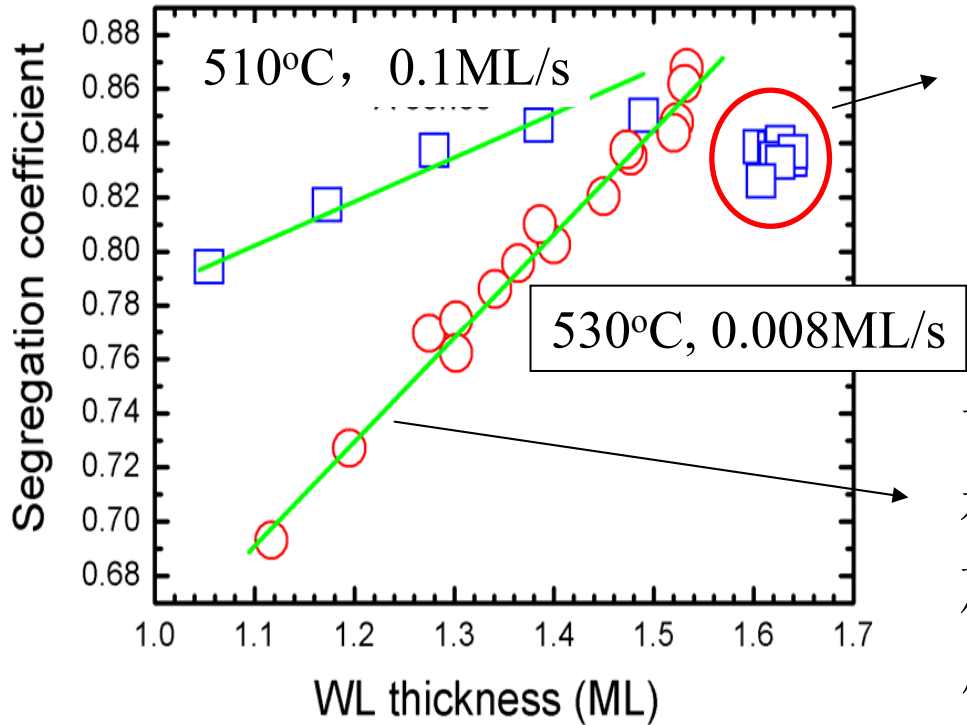
$$\varepsilon_1 < \varepsilon < \varepsilon_2$$

InAs WL 含量



# In偏析系数与浸润层中InAs含量的关系

没人进行过相关实验研究



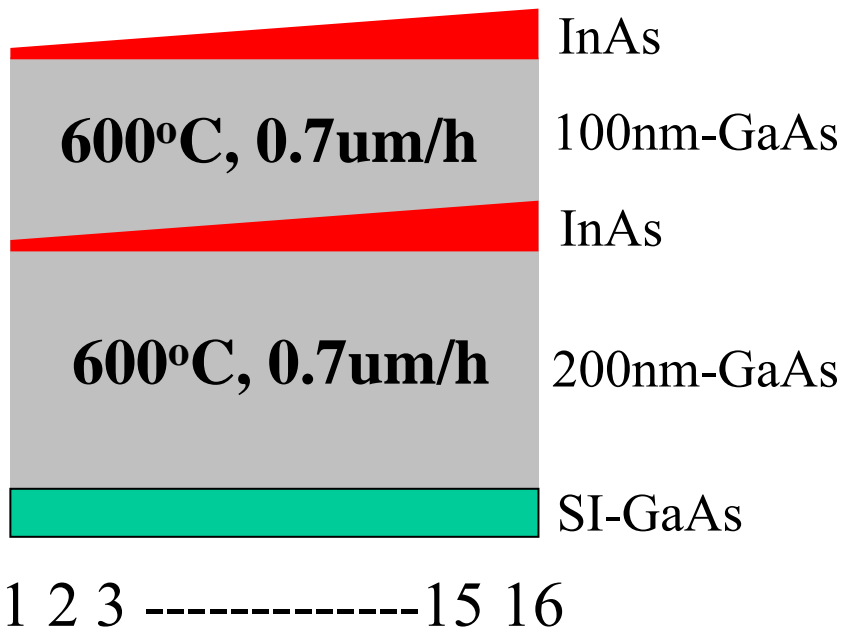
高密度QD，释放了  
浸润层的应变，减弱In原子的偏析。

高的温度导致浸润层In和  
衬底中Ga原子的互混，释  
放浸润层的应变，导致In  
原子偏析减小。

Segregation coefficient varies linearly with the InAs amount  
in WL before SK growth: **strain as driven force!**

# 生长温度和2D–3D转变厚度的关系?

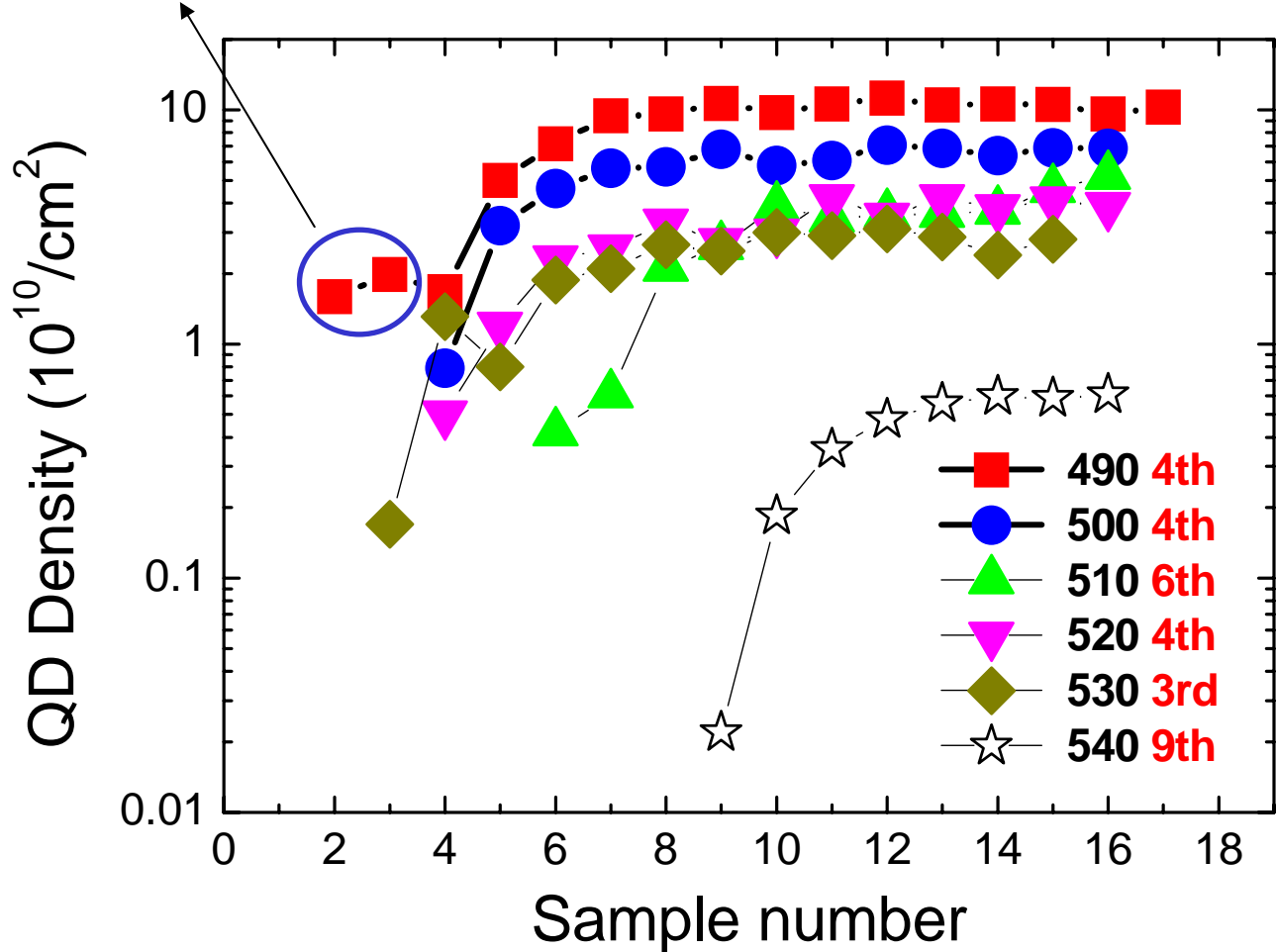
衬底不旋转



$\langle t \rangle$ ,	Growth Temp,	Vg
2.0ML	490°C	0.1ML/s
2.0ML	500°C	0.1ML/s
1.9ML	510°C	0.1ML/s
2.0ML	520°C	0.1ML/s
2.0ML	530°C	0.1ML/s
2.0ML	540°C	0.1ML/s

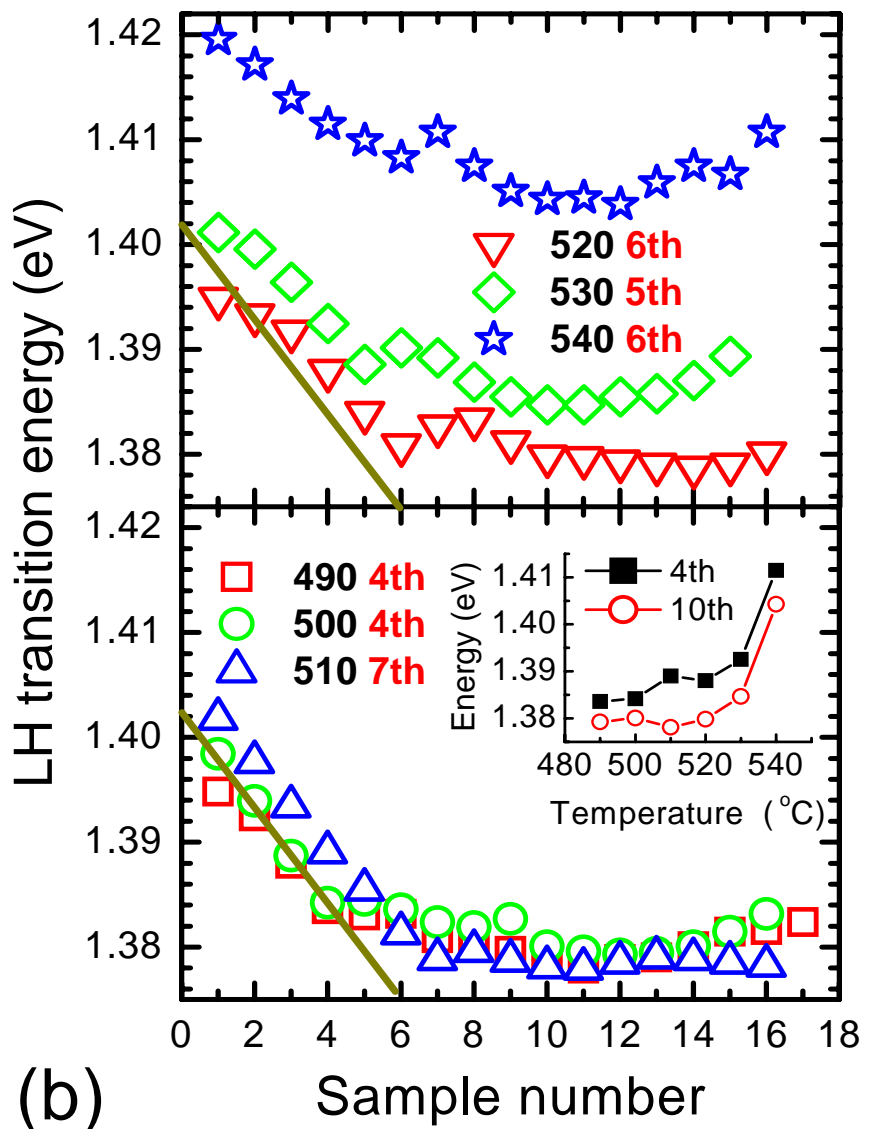
# 不同生长温度时的QD密度 (AFM测量结果)

2D islands, height<1nm



2D-3D 转变标志: 3D-InAs岛密度快速增加

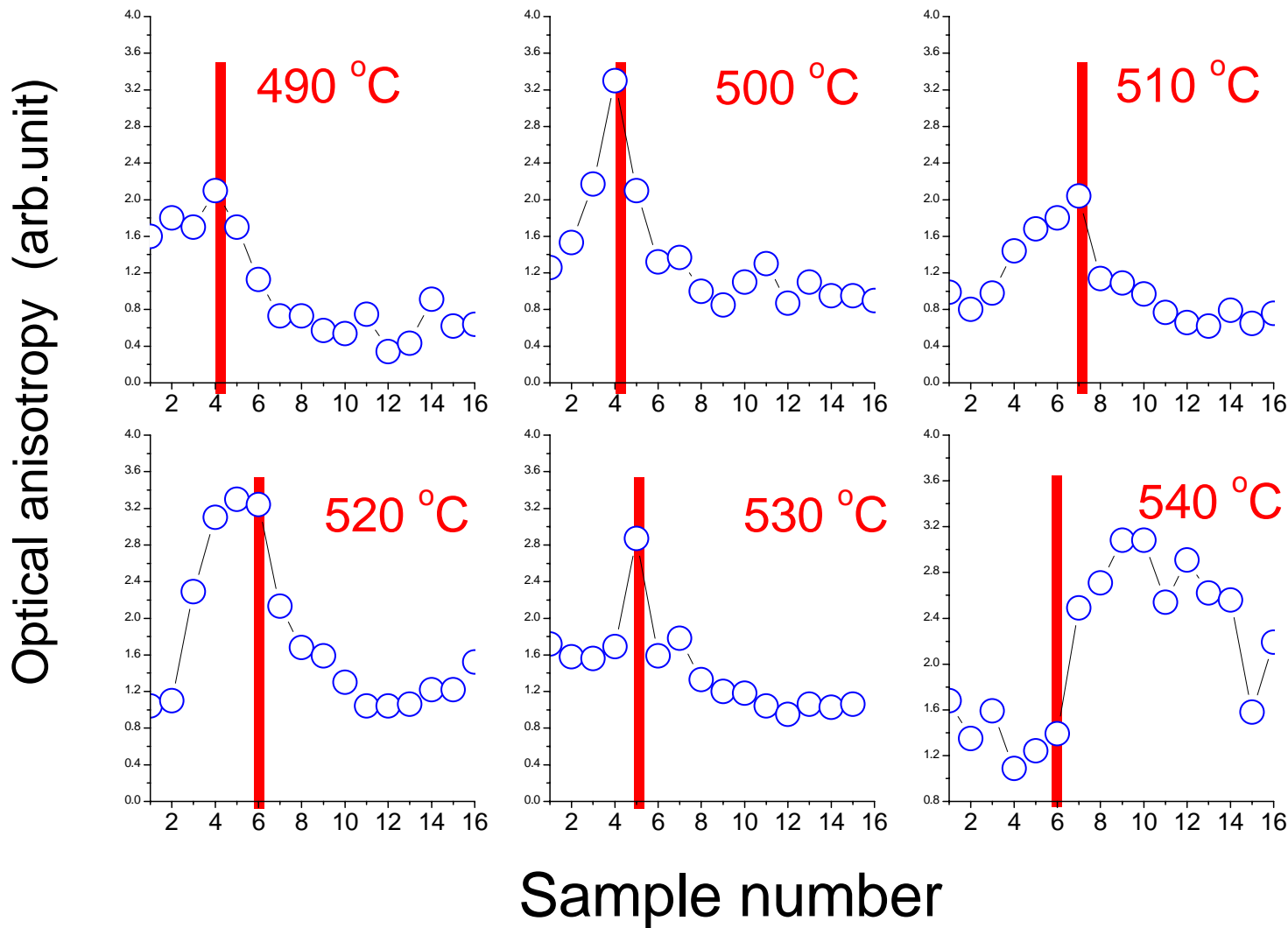
# 浸润层轻空穴相关跃迁能量的变化



先线性减小：  
**InAs增加**  
后偏离线性减小，  
趋近平衡值：  
**InAs停止增加并趋**  
**近饱和值**

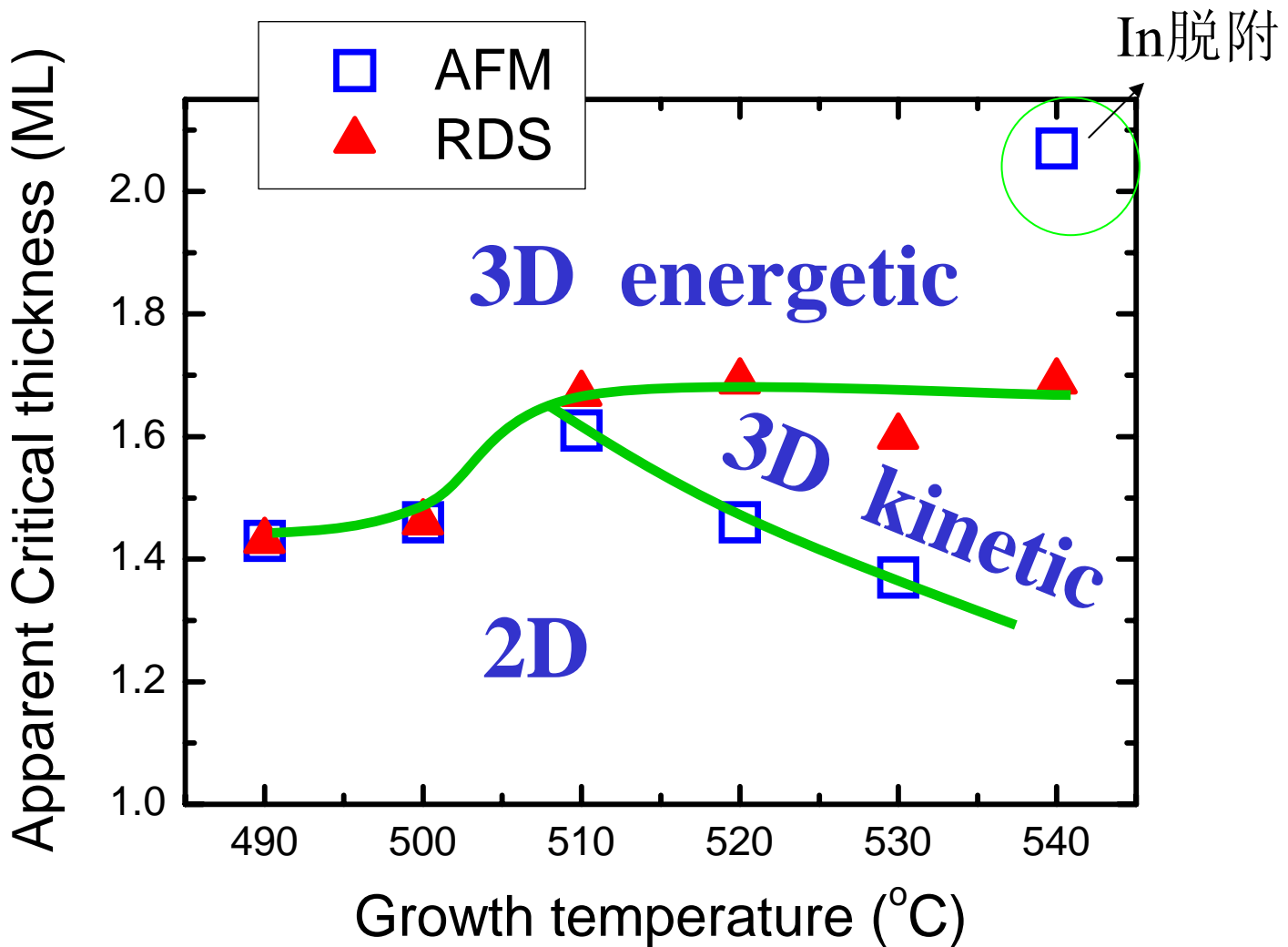
**2D-3D 生长转变：**  
偏离线性减小之处

# 浸润层平面光学各向异性的演化



**Red bars:** InAs becomes saturated in WL by RDS  
↔ rapid change of OA, anisotropic strain in WL

# 2D-3D生长临界厚度随生长温度的变化



APL88P161903(2006): small islands @1.45ML ,450 $^{\circ}\text{C}$   
 large islands @1.6ML, 450-600 $^{\circ}\text{C}$



# 效应之二：自旋劈裂



# 自旋简并和自旋分裂

空间反演对称

$$E_{\pm}(k) = E_{\pm}(-k)$$

时间反演对称

$$E_{\pm}(k) = E_{\mp}(-k)$$

自旋简并

$$E_{\pm}(k) = E_{\mp}(k)$$

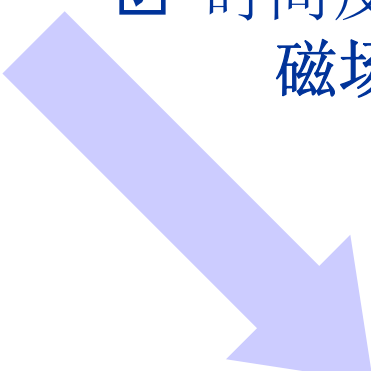
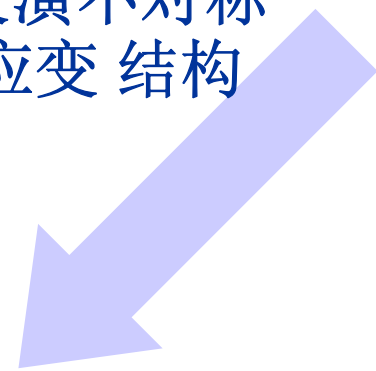
空间反演不对称  
电场 应变 结构

时间反演不对称  
磁场



零场分裂

Zeeman分裂





# 空间反演不对称的自旋分裂

## 自旋轨道 (SO) 相互作用

$$H_{\text{SO}} = -\frac{\hbar}{4m_0^2c^2} \boldsymbol{\sigma} \cdot \mathbf{p} \times (\nabla V_0)$$

$V_0$ : 原子势

自旋

$\sigma$

轨道运动

$\mathbf{p}, \mathbf{k}, \mathbf{v}$

反演不对称

$\nabla V_0$

电场  
应变  
结构

Lorentz变换：在电子静止坐标系中，以 $-V$ 运动的电场 $E$ 产生了一个有效磁场 $B$

$$\mathbf{B} = -\frac{\gamma}{c^2} \mathbf{v} \times \mathbf{E}$$

自旋分裂

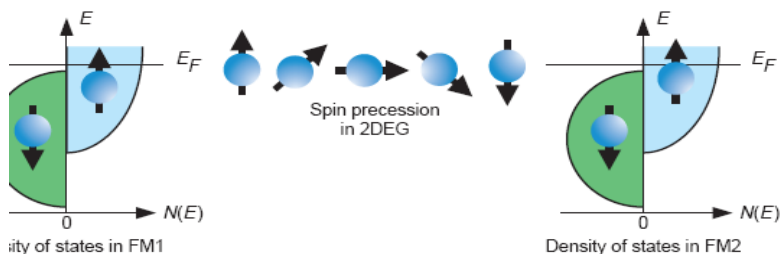
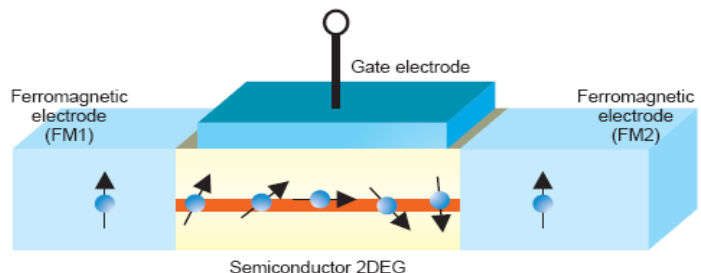
自旋轨道耦合

操纵电子自旋



$C_{2V}$ 对称：电场、应变、结构设计

$$H_{SO} = -\frac{\hbar}{4m_0^2c^2} \boldsymbol{\sigma} \cdot \boldsymbol{p} \times (\nabla V_0)$$



自旋晶体管：  
**SO**耦合导致自旋进动

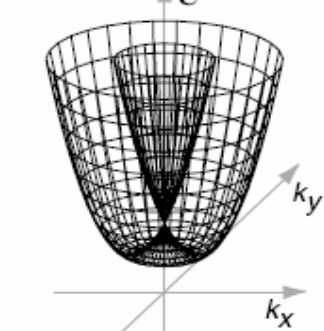
S. Datta and B. Das,  
Appl. Phys. Lett.  
56, 665(1990)

Y方向上的电场:  $\sigma_z, p_x$

# 量子阱结构的自旋分裂

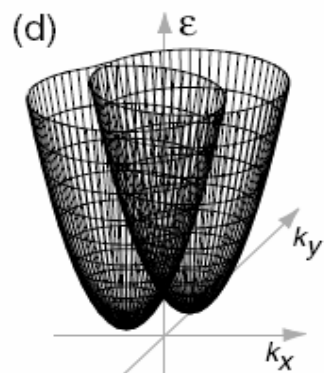
Z方向具有结构反演不对称：电场，应变，不对称的限制势

(a) 闪锌矿结构

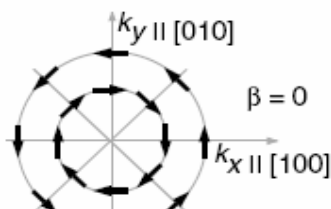


SIA

BIA



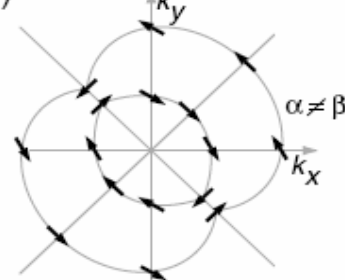
(b)



(c)



(e)



纤锌矿结构

BIA哈密顿量与SIA的  
相同！  
各向同性的自旋分裂

自旋分裂的观察：

- 1) 零场分裂, SdH振荡
- 2) 本征自旋霍尔效应  
(逆自旋霍尔效应)
- 3) 自旋光电流

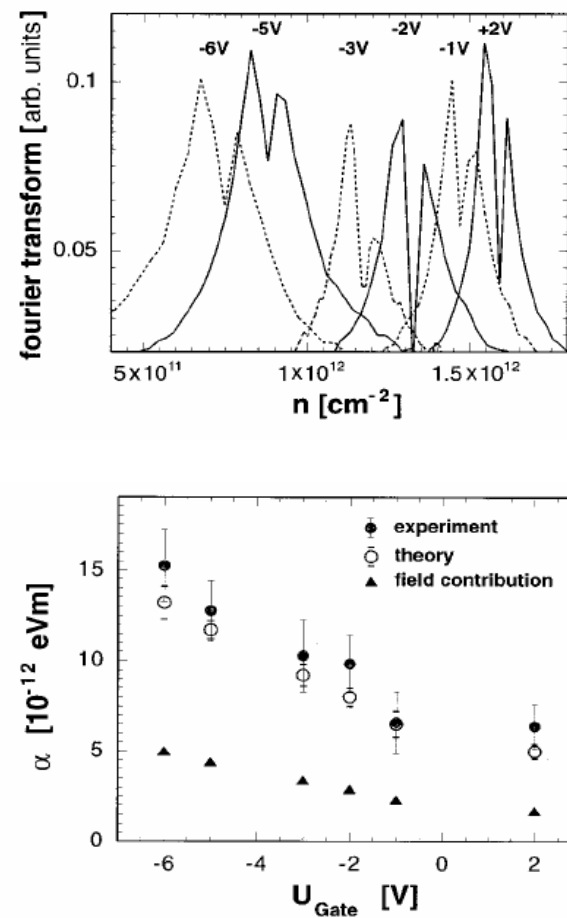
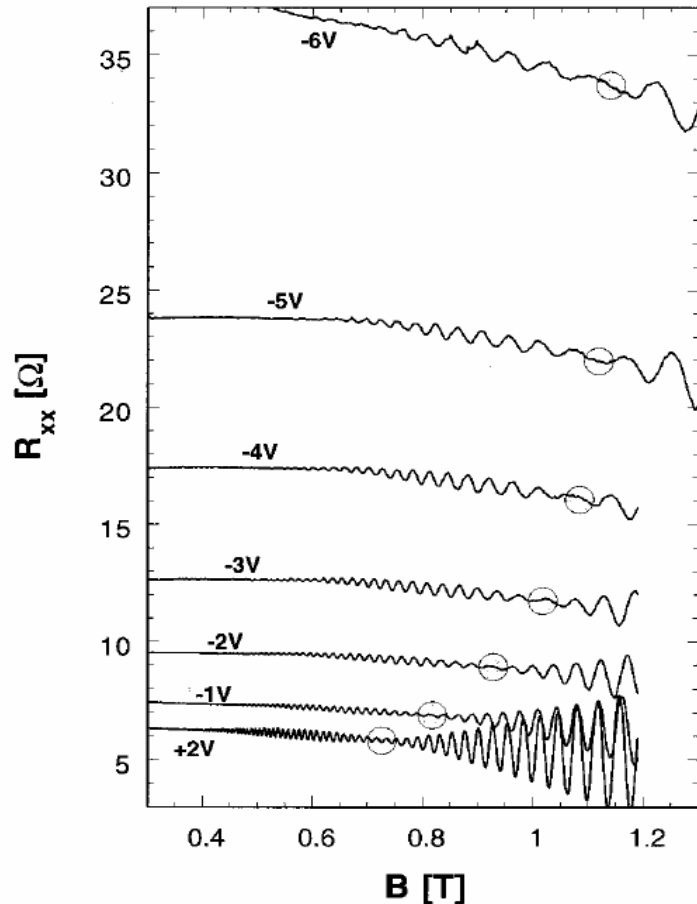
$$\hat{H}_{SO} = \alpha(\sigma_x k_y - \sigma_y k_x) + \beta(\sigma_x k_x - \sigma_y k_y)$$

SIA

BIA

# 1) 零场自旋分裂(SdH振荡的拍频现象)

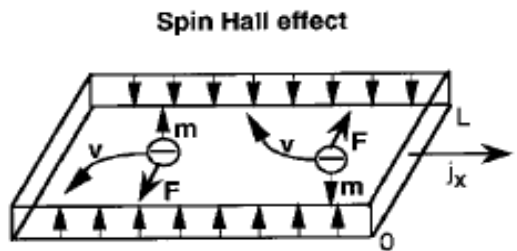
In<sub>x</sub>Ga<sub>1-x</sub>As/InP调制掺杂2DEG的低温输运



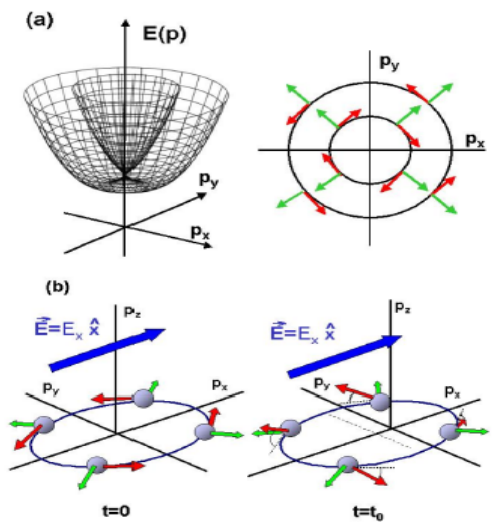
PRB55R1958(1997)

可通过栅压来控制自旋分裂的大小

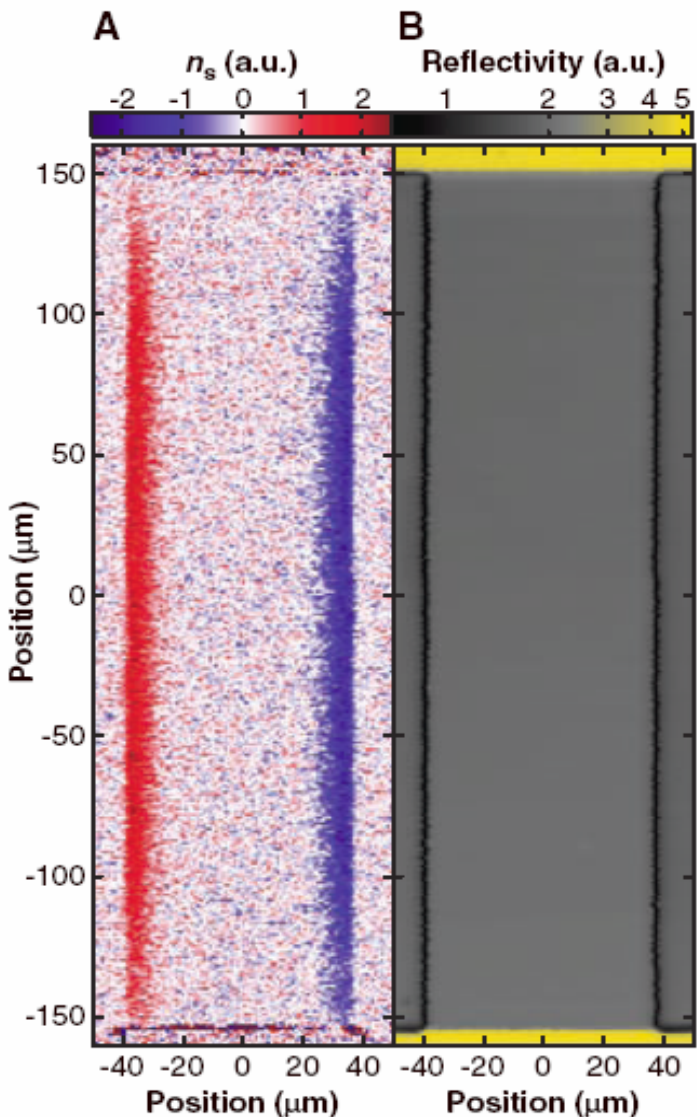
## 2) 内禀自旋Hall效应



有人认为是本征的: Rashba 效应



2 μm n-GaAs on AlGaAs

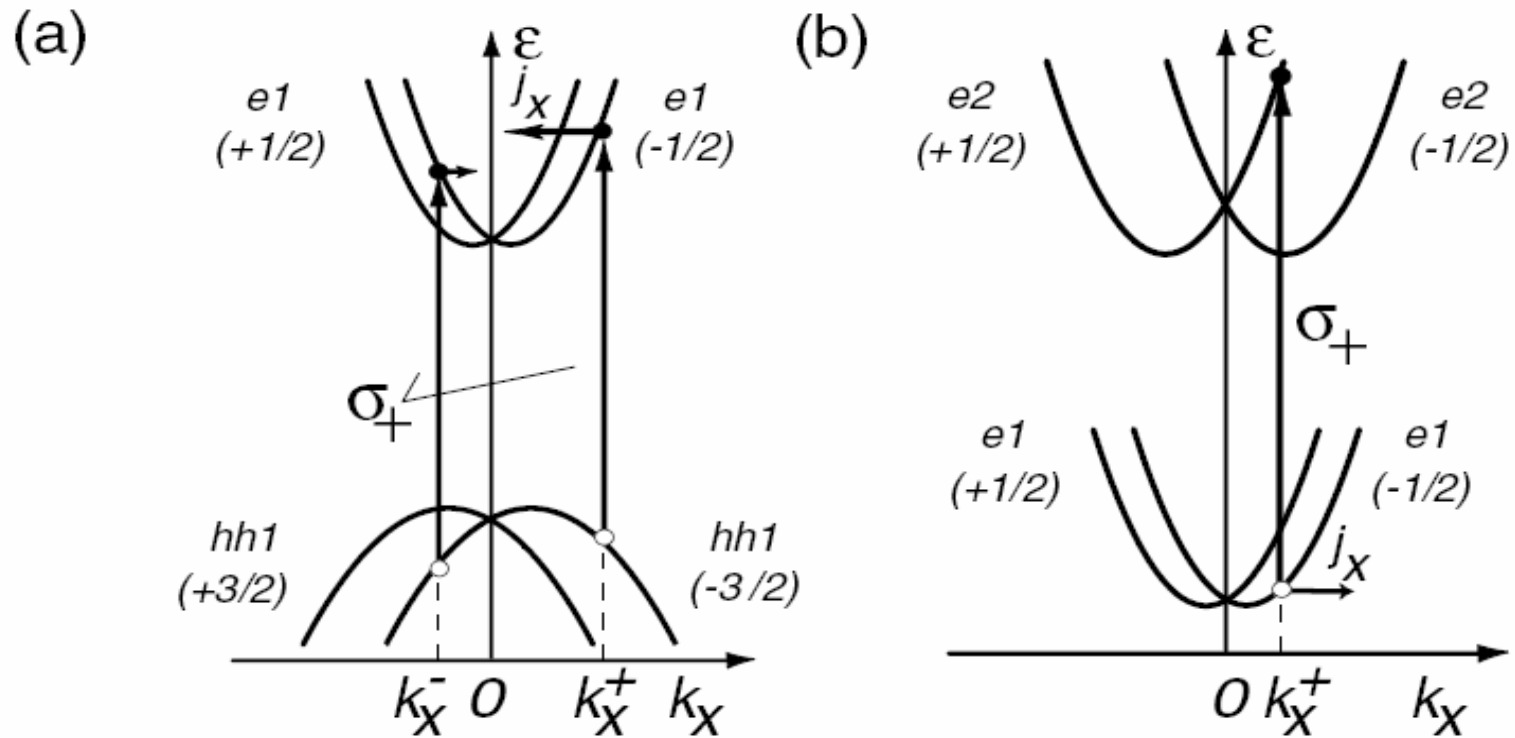


PRL92P126603(2004)

Science306-1910-2004

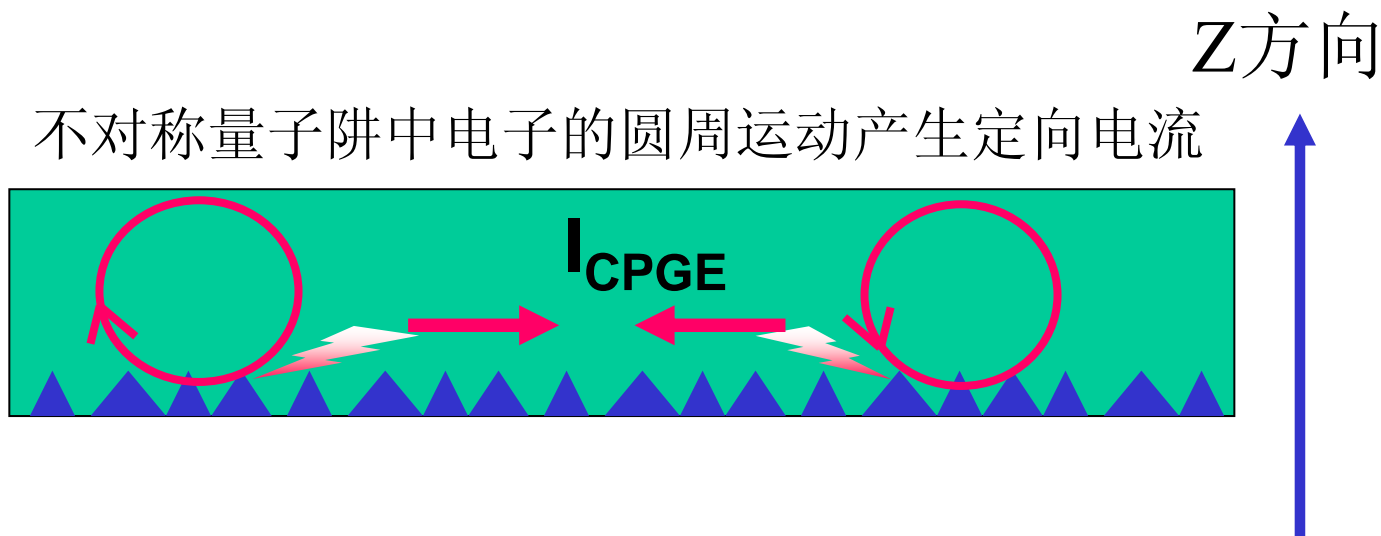
# 自旋光电流效应

## Circular photogalvanic effect



自旋分裂和光学选择定则导致 $k_x+$ 和 $k_x-$ 态不平衡占据，产生零偏压下的自旋极化光电流。

# CPGE的经典图像



- 电流方向取决于圆偏振光方向
- 正入射时电流为零

## GaN/AlGaN 二维电子气（2DEG）的CPGE研究

与北大物理学院沈波教授合作

汤一乔：2006年底，APL

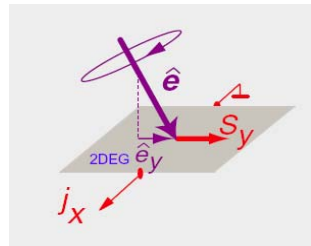
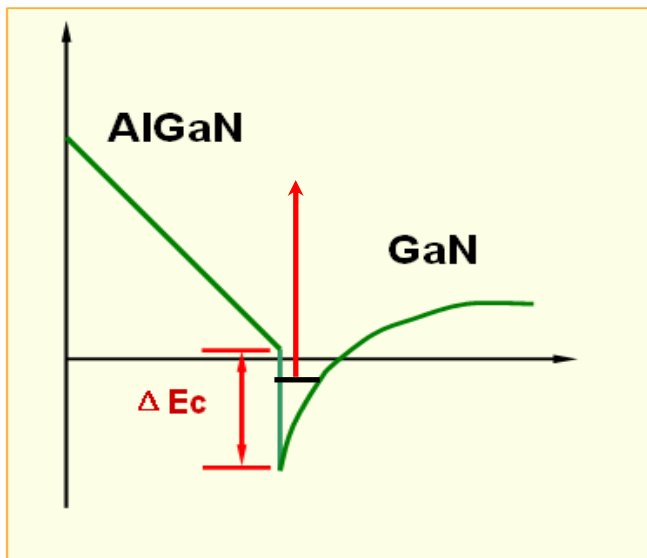
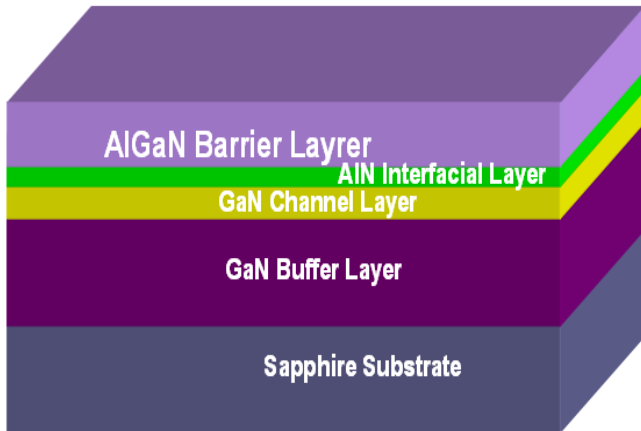
贺小伟：2007年，APL, PRL

尹春明，张琦：正在进行中，有趣的结果

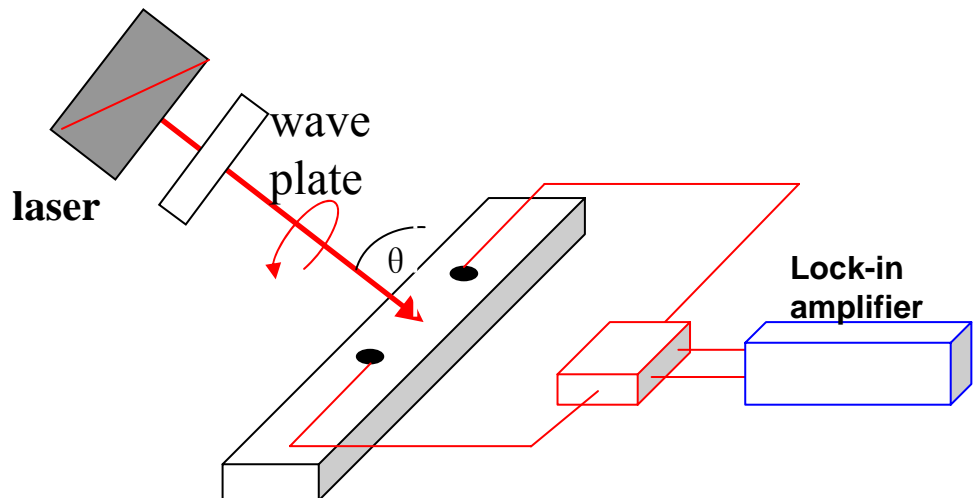
## GaAs/AlGaAs 二维电子气（2DEG）、InN、InAs 量子线、InAs量子点结构等的CPGE研究

中科院半导体所

# GaN 2DEG样品和CPGE实验装置

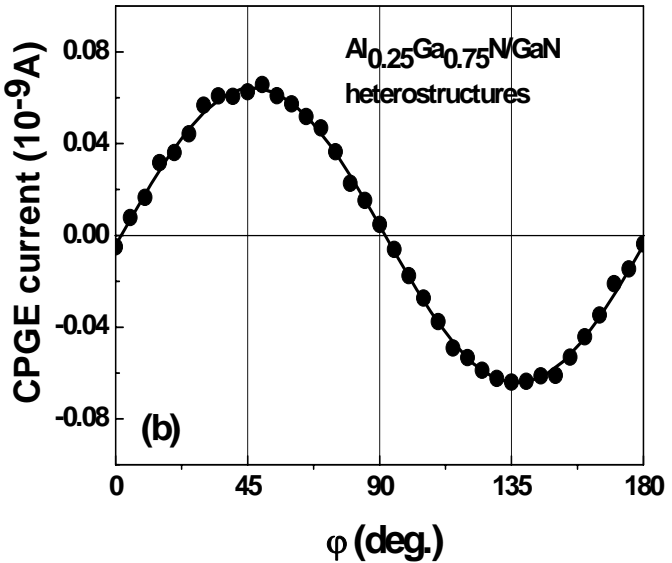
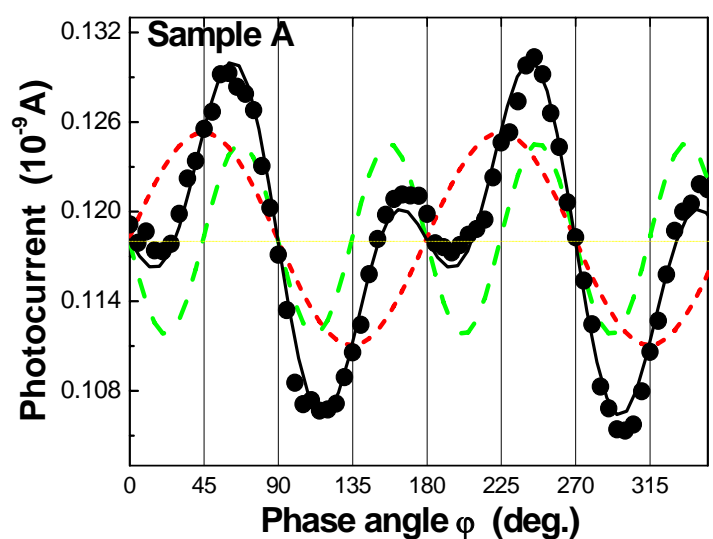


圆偏振光:  
**1060 nm (1.1 eV)**



**CPGE setup**

# GaN 2DEG 室温下的CPGE光电流

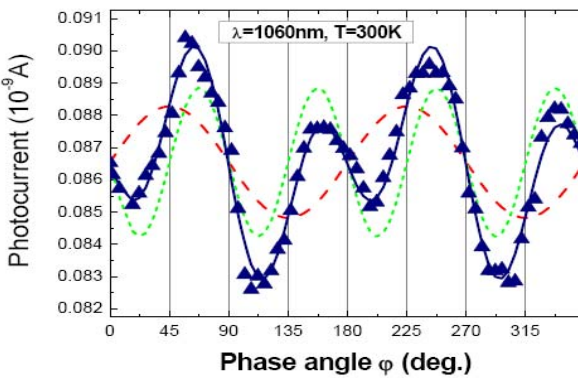
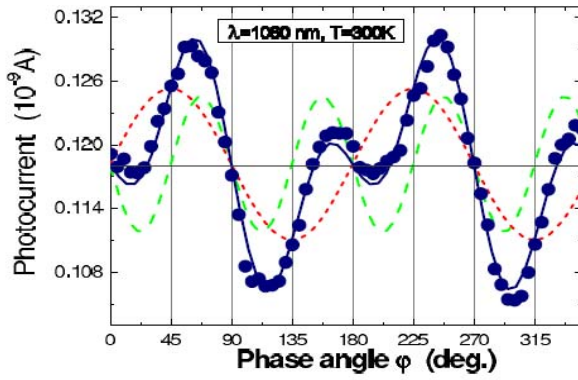
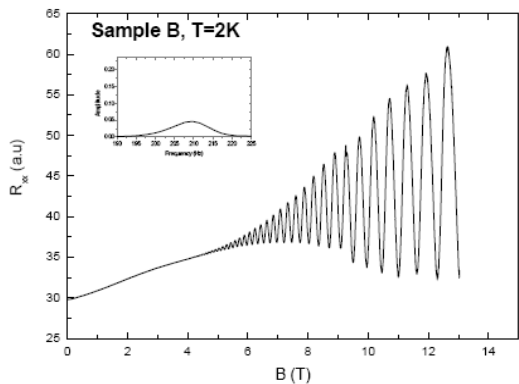
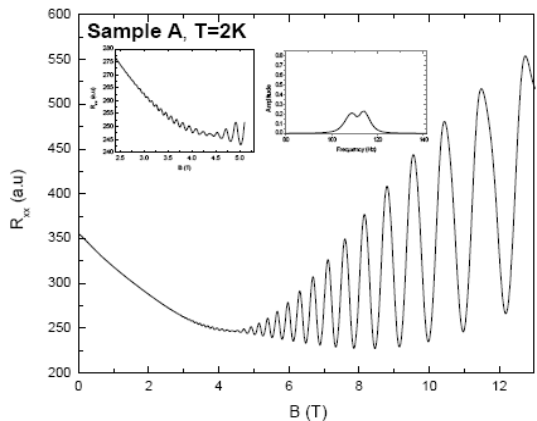


旋转1/4波片（相位角 $\varphi$ ），改变入射光的偏振状态

$$j_\lambda = \boxed{j_c \sin 2\varphi} + j_L \sin 2\varphi \cos 2\varphi + j_0$$

Y.Q.Tang (汤一乔), et al, APL, **91**, 071920 (2007)

# SdH 振荡和CPGE光电流的比较

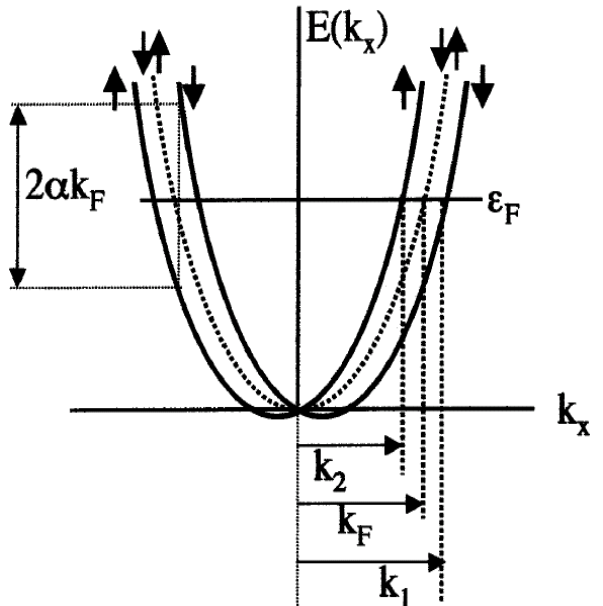


Y.Q.Tang (汤一乔), et al, APL, **91**, 071920 (2007)

# SOC constant of BIA and SIA terms in wurtzite structure (GaN-based)

- **BIA:**  $H_B = \alpha_b(k_x\sigma^y - k_y\sigma^x)$
  - **SIA:**  $H_S = \alpha_S(k_x\sigma^y - k_y\sigma^x)$
- $H_B, H_S \sim k$ , Rashba terms

二者很难区分



$$E(k) = \frac{\hbar}{2m^*} k^2 \pm \alpha k$$



## SOC constant of BIA and SIA terms in wurtzite structure (GaN-based)

如何确定BIA和SIA自旋轨道耦合系数的相对大小？

$$\alpha = \frac{\hbar^2 e E}{4m * E_g} \quad \alpha_s \propto E_{built-in}$$

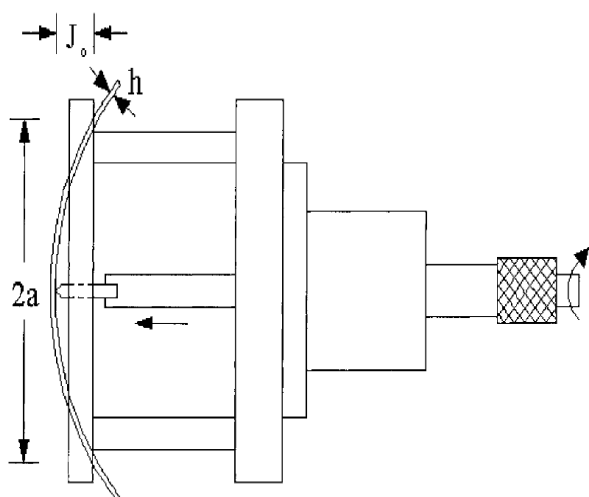
AlGaN/GaN异质结：极强的极化效应

极化电场： $\sim \text{MV/cm}$

应变调制CPGE → 自旋轨道耦合系数的信息

# Experimental setup for uniaxial strain

单轴应变装置:



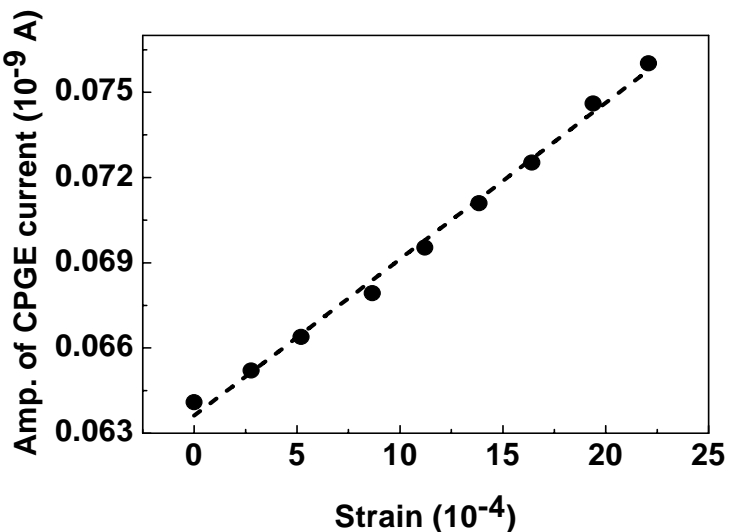
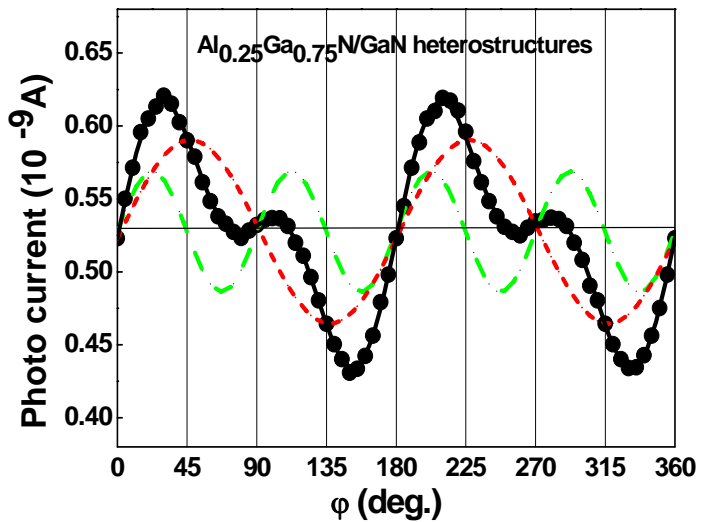
Y方向受张应变:

$$\varepsilon_{yy} = \frac{3hJ_0}{2a^2}$$

Z方向受压应变:

$$\varepsilon_{zz} = -\frac{C_{12}}{C_{13}}\varepsilon_{yy}$$

# CPGE current as a function of the additional uniaxial strain



CPGE信号随外加应变线性增加， $2.2 \times 10^{-3}$ 的张应变可使信号增加 18.6%。

X.W.He (贺小伟), et al, APL, 91, 071912 (2007)

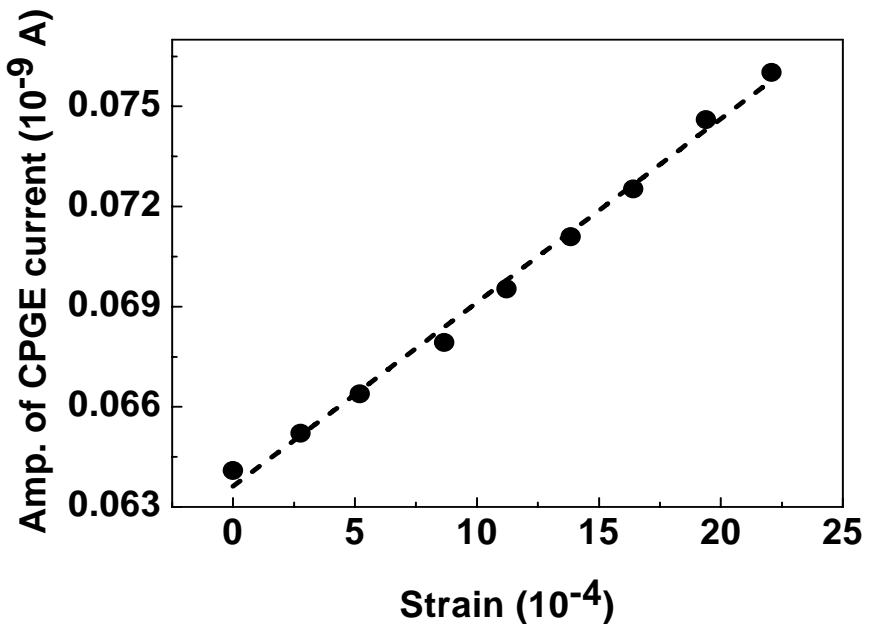
# Ratio of SIA and BIA SOC constants

$$\alpha_s \propto E_{built-in}$$

$$j_y(\varepsilon_{yy}) = j_b^0 + j_s^0 + k_s \varepsilon_{yy}$$

$$j_y = j_b^0 + bE_0 + bE_{un}(\varepsilon_{yy})$$

$$a_s / a_b = j_b^0 / j_s^0 \approx 13.2$$



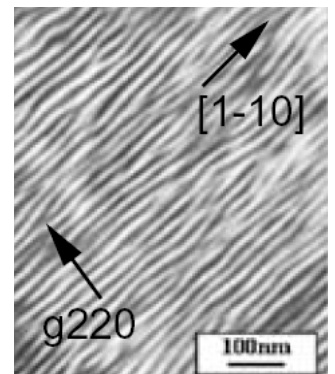
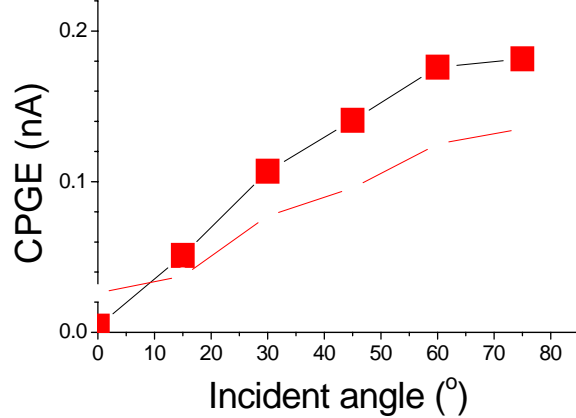
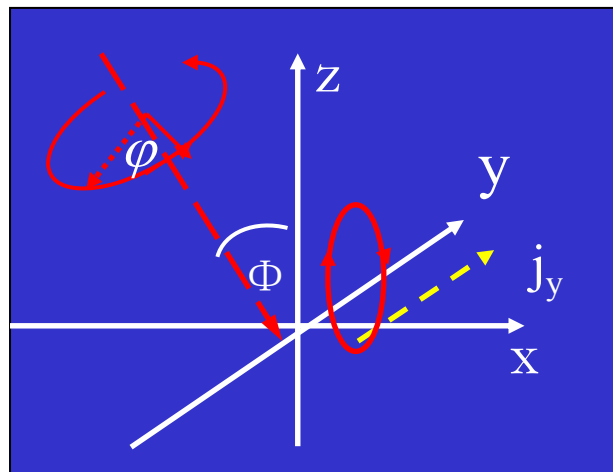
X.W.He (贺小伟), et al, APL, **91**, 071912 (2007)

# Observation of the anomalous CPGE

CPGE信号:

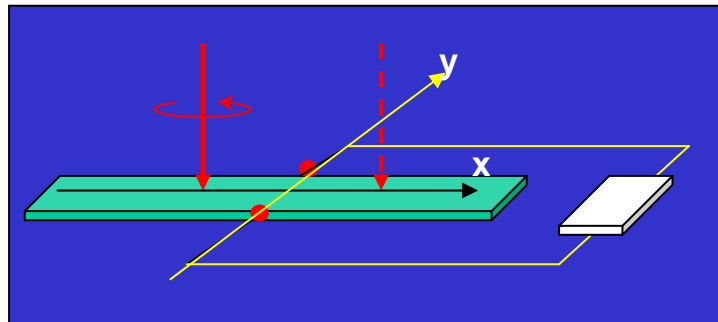
$$J_x = \gamma_{xy} i (E \times E^*)_y \rightarrow \sin \phi$$

正入射时CPGE 等于零

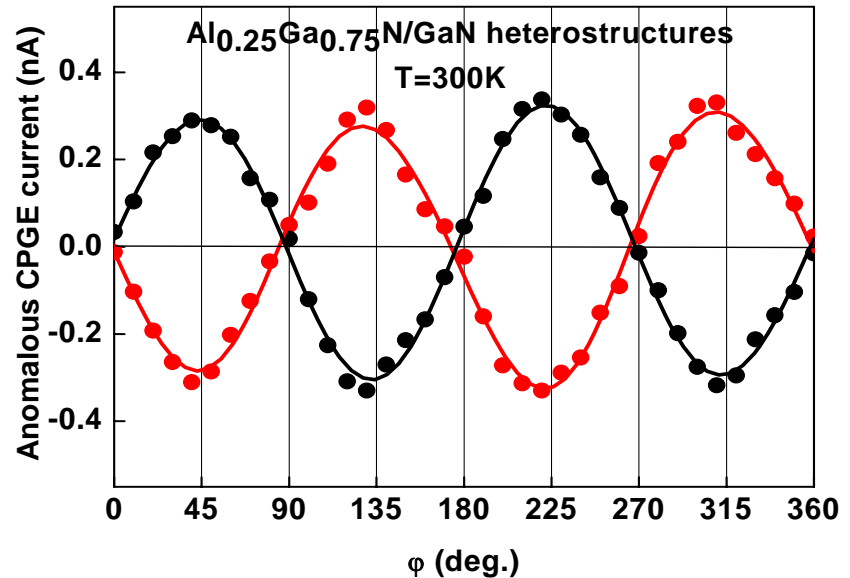
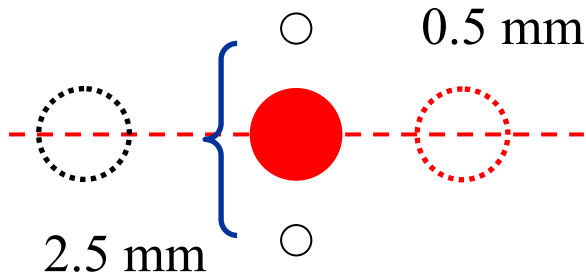


InAs量子线CPGE信号随入射角的变化

# Observation of the anomalous CPGE



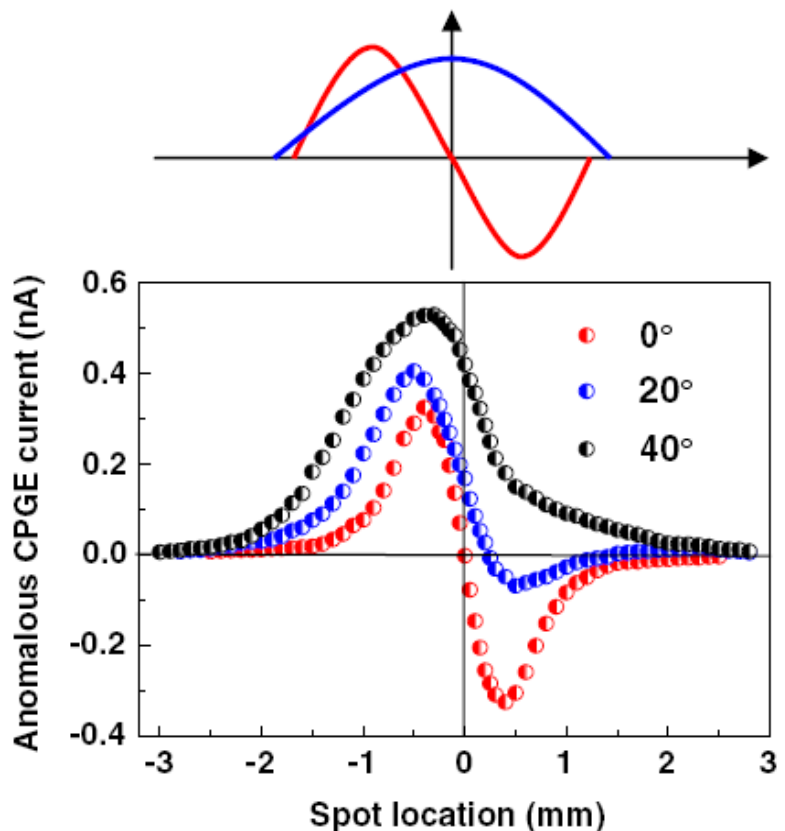
光斑大小: 1.1 mm



CPGE信号随1/4波片相位角的变化

X.W.He (贺小伟), et al, PRL, 101, 147402 (2008)

# Observation of the anomalous CPGE

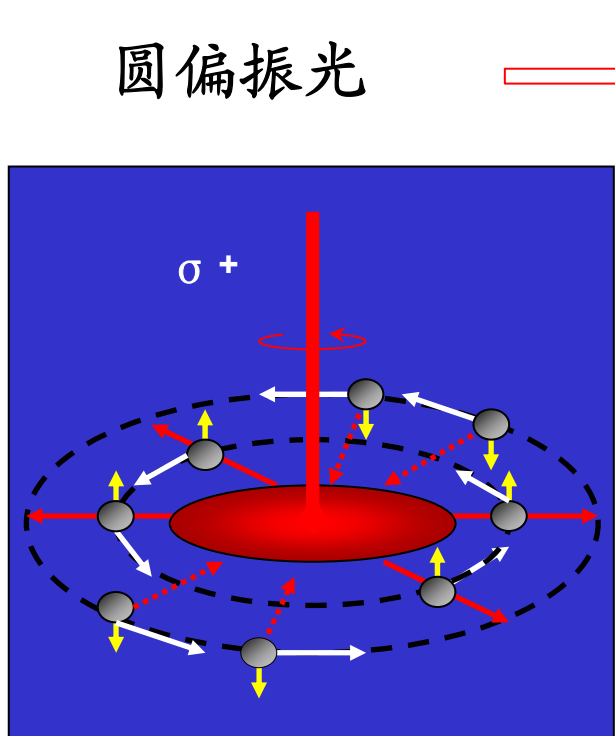


不同入射角时电流散随光斑位置的变化

插图：CPGE电流由一个对称分量和反对称分量构成

X.W.He (贺小伟), et al, PRL, 101, 147402 (2008)

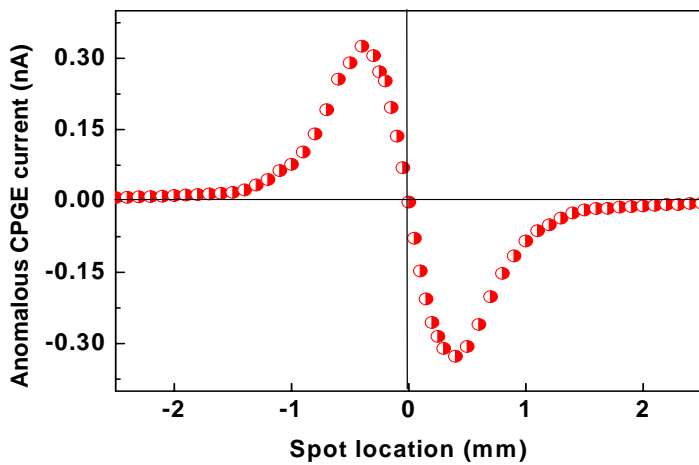
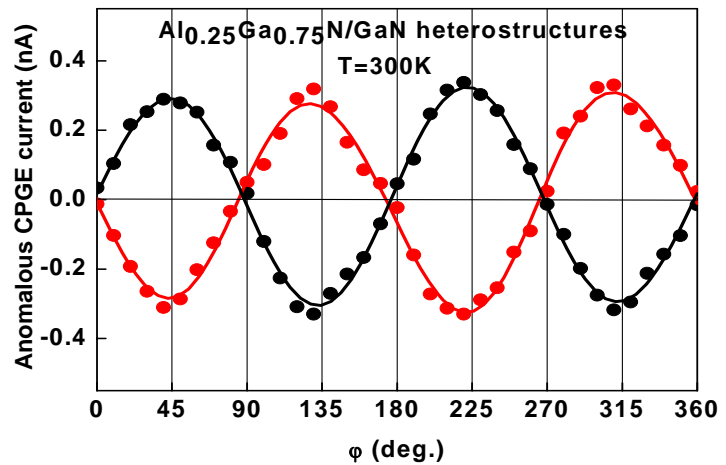
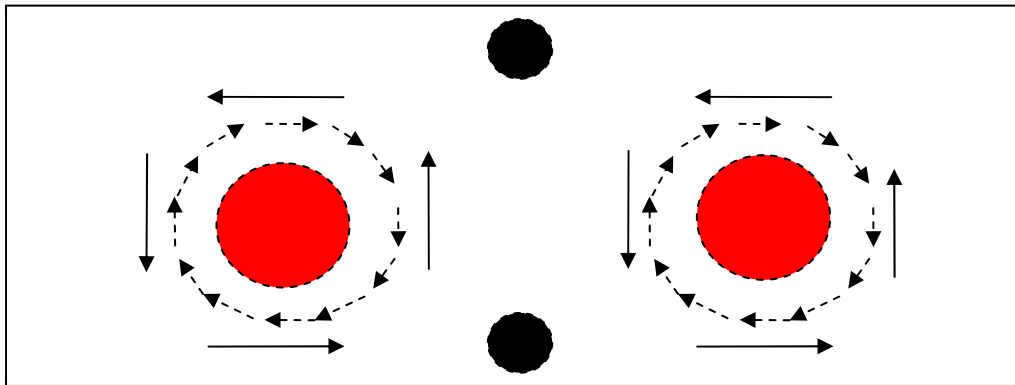
# Mechanism of the anomalous CPGE



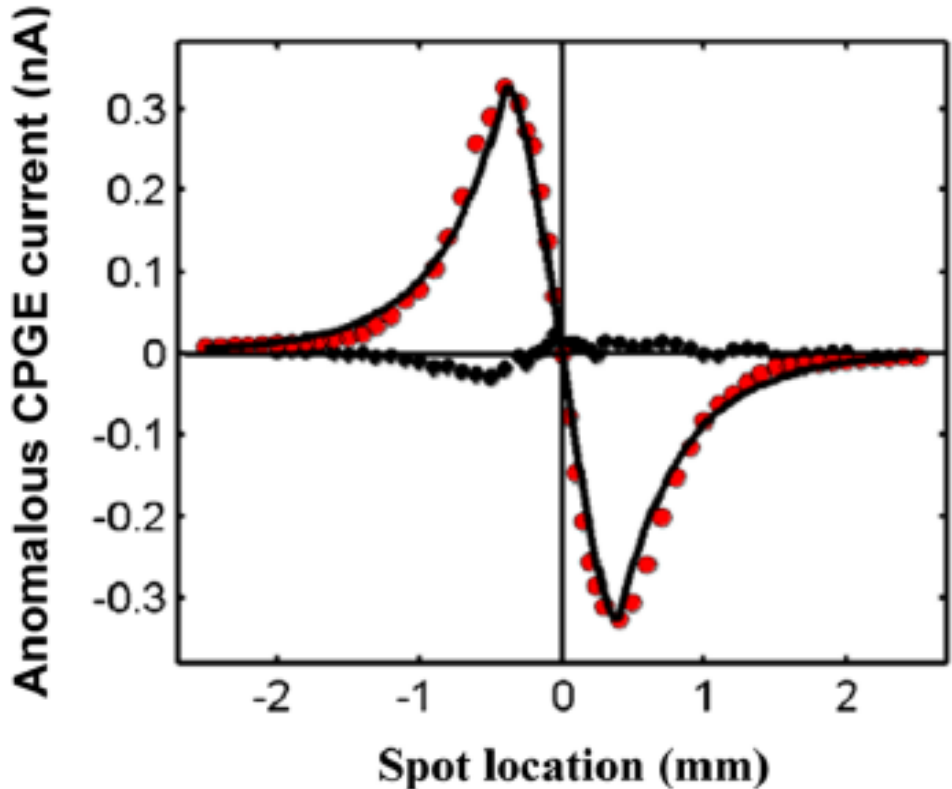
自旋极化电子  
径向自旋极化电流  
**RSHE**  
环状电流

$$\begin{aligned}
 u(r) &= u_0 \exp\left(-\frac{r^2}{2\sigma^2}\right) \\
 J(r) &= -J_0 \frac{r}{\sigma^2} \exp\left(-\frac{r^2}{2\sigma^2}\right) \\
 f(r) &= -f_0 \frac{r}{\sigma^2} \exp\left(-\frac{r^2}{2\sigma^2}\right) \\
 J_{Hall} &= J_0 \sin 2\phi
 \end{aligned}$$

# Anomalous CPGE & RSHE



# Observation of the anomalous CPGE

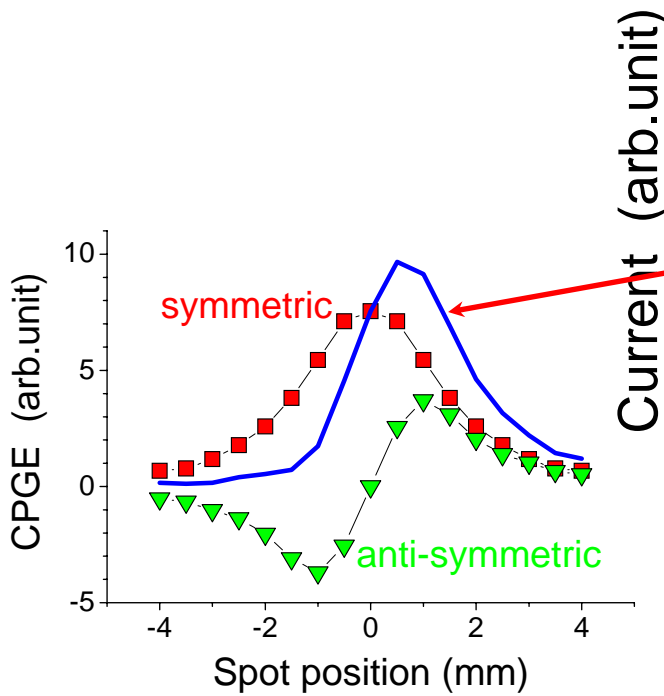
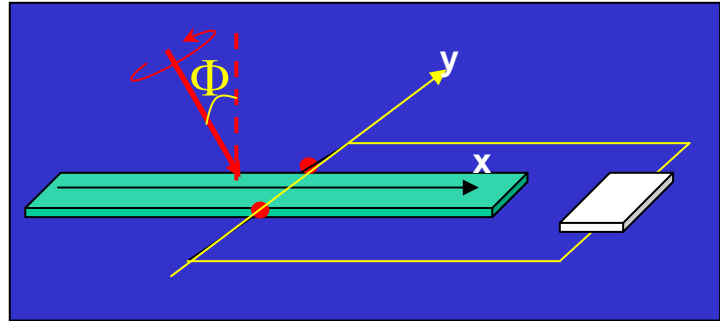


The current as a function of the light spot location with the light spot of 1.1 mm and 0.1 mm in diameter, respectively.

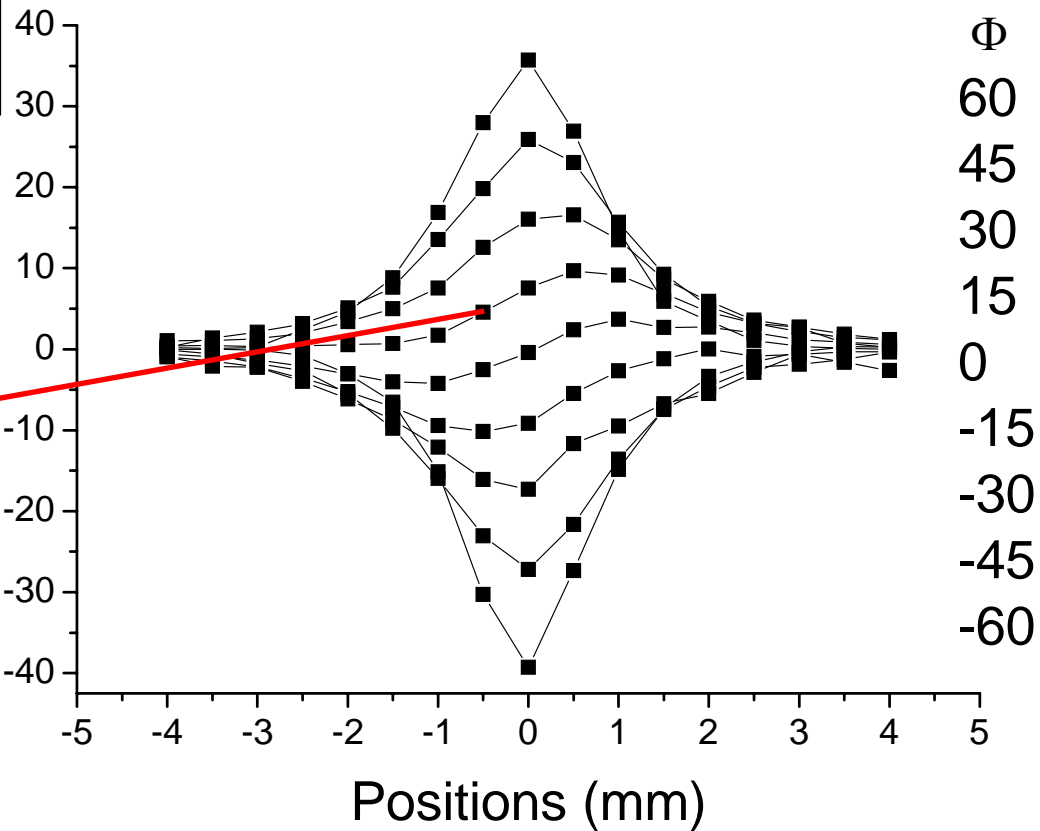
$$F = \frac{f_0}{q} e \approx 2.4 \times 10^{-19} N$$

X.W.He, et al, PRL, 101, 147402 (2008)

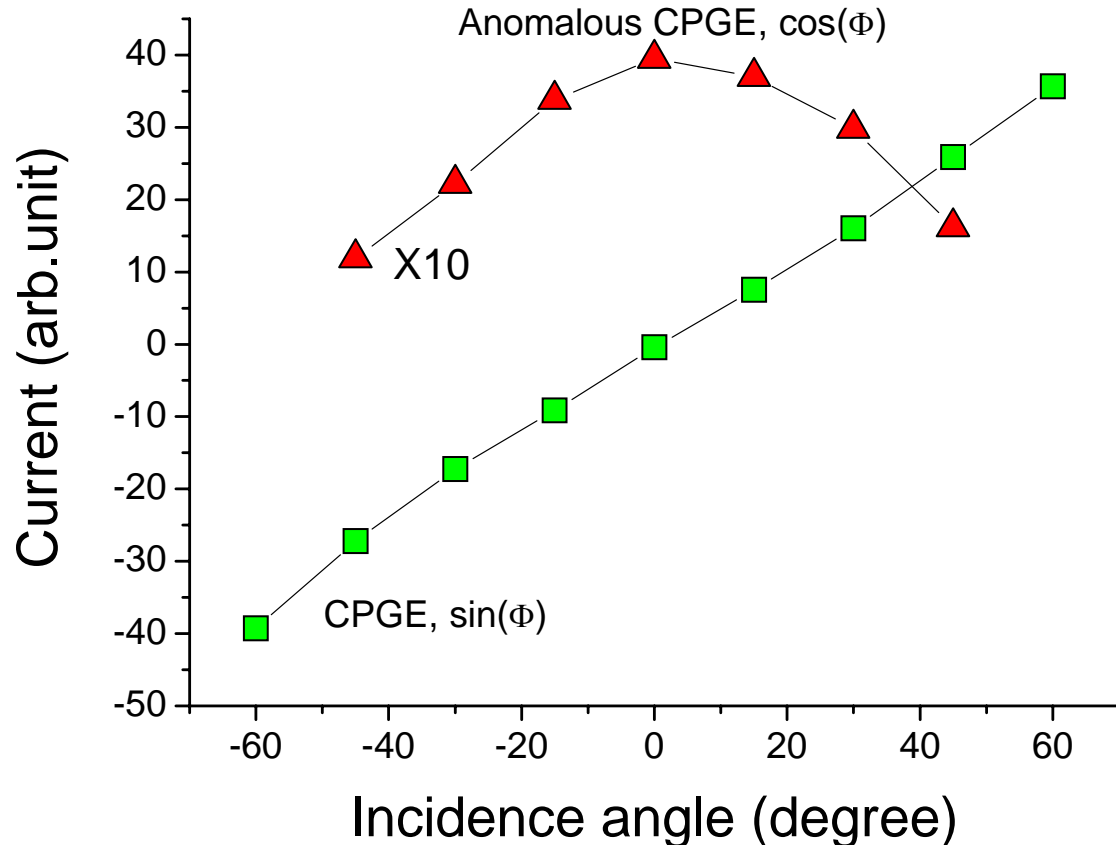
# Anomalous CPGE in GaAs/AlGaAs 2DEG



不同入射角时光电流信号随光斑位置的变化



# Anomalous CPGE in GaAs/AlGaAs 2DEG



对称分量（正常CPGE）幅度和反对称分量（反常CPGE）幅度随入射角的变化规律完全不一样！



# 结 论

- 1) 半导体材料中反演不对称会导致空穴混合和能带自旋分裂；
- 2) 空穴混合导致**QW**产生平面光学各向异性，可以用**RDS**观测得到；不同的反演不对称（电场、应变、界面）会产生不同的**RDS**信号；
- 3) 导带的自旋分裂可以通过自旋光电流测量；同时，自旋光电流还可以检测逆自旋霍尔效应；
- 4) **RDS**和自旋光电流是非常灵敏的技术！



谢 谢